BREVET DE TECHNICIEN SUPÉRIEUR CONCEPTION DE PRODUITS INDUSTRIELS SESSION 2019

Épreuve E4 – Étude préliminaire de produit

Unité U42 – Conception préliminaire

Coefficient 6 - Durée 6 heures

Aucun document autorisé

L'usage de tout modèle de calculatrice, avec ou sans mode examen, est autorisé.

Le sujet comporte trois dossiers :

- un dossier technique ;
- un dossier travail;
- un dossier réponse.

Le dossier réponse est à joindre aux feuilles de copie.

BREVET DE TECHNICIEN SUPERIEUR CONCEPTION DE PRODUITS INDUSTRIELS SESSION 2019

Épreuve E4 – Étude préliminaire de produit

Unité U42 – Conception préliminaire

DOSSIER TECHNIQUE

Ce dossier comporte 17 pages.

DT1 à DT3 : mise en situation, vocabulaire, et caractéristiques du Douglas C-47 Skytrain

DT4 : diagramme de cas d'utilisation et diagramme de contexte

DT5 : diagramme des exigences

DT6 : extrait norme EN 13814 et extrait du scénario représentatif de la simulation du C-47

DT7 à DT 10 : caractéristiques techniques liées aux vérins

DT11 : caractéristiques des compresseurs et pertes de charges dans une canalisation d'air

DT12 : détail de l'articulation châssis mobile – châssis tangage

DT13 : nomenclature des charges

DT14 : notice de calcul pour rotules

DT15: documentation constructeur rotules

DT16 : détail de la construction du bras articulé

DT17 : contraintes dans le châssis mobile

Mise en situation

La société CL CORPORATION, basée près de Rennes, conçoit, développe et produit des solutions technologiques innovantes dans les domaines de l'interactivité, de la muséographie et du divertissement.



L'équipe technique de CL CORPORATION s'est spécialisée dans la production de sièges dynamiques individuels (Figure 1). Ces sièges réalisent des mouvements de rotation et de translation, pouvant s'adapter à tous types de cahiers des charges (lieux, films, thèmes...) des parcs d'attractions.

Figure 1 : siège individuel de divertissement (charge maximum de 342 kg).

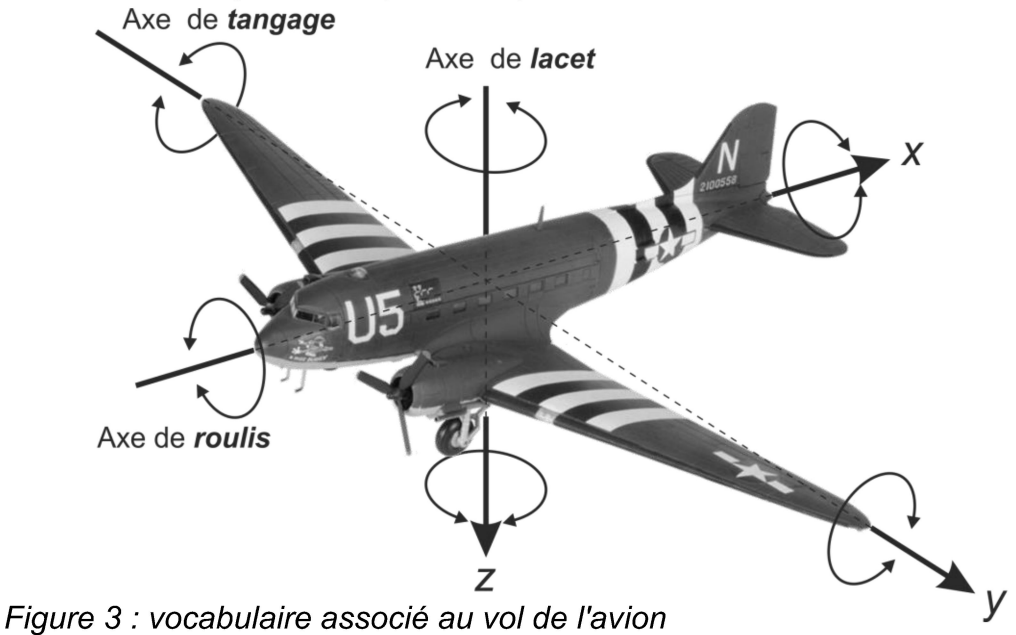
Comme suite à une demande particulière du Centre Historique des Parachutistes, le bureau d'étude en mécanique et automatisme cherche à concevoir un simulateur (Figure 2) permettant de recréer les mouvements réalistes d'un avion DOUGLAS C-47. La simulation intitulée « D-DAY EXPERIENCE » reconstitue le transport pendant une durée de 5 min de 26 passagers dans les phases d'embarquement, de décollage, de vol et d'atterrissage forcé de l'avion.



Figure 2 : vue générale du simulateur C-47.

L'objectif de l'étude, sera de vérifier, de valider et de dimensionner des solutions techniques, conformément aux extraits du cahier des charges présenté par les documents DT4 et DT5.

Pour toute la suite du sujet, on adoptera le système d'axes défini ci-dessous :



- Avion de transport militaire produit à 10 000 exemplaires à partir de novembre 1941.
 2 moteurs à pistons (Pratt & Whitney R-1830-92) 1200 ch, masse de 567 kg chacun.
- Envergure 29,41 m, longueur 19,43 m, hauteur 5,18 m pour une masse à vide 7 760 kg.
- Charge utile de 6340 kg.



Figure 4 : caractéristiques de l'avion Douglas C-47 skytrain



Figure 5 : vocabulaire associé au mouvement de tangage

Pour réaliser le simulateur C-47, l'avion a été démonté, consolidé et réaménagé.

L'opération de consolidation a pour objectif de rigidifier la carlingue. Pour cela, CL CORPORATION a posé l'avion sur un châssis soutien (6) constitué d'une structure de renfort et d'échelles assurant la rigidité du fuselage de l'avion.

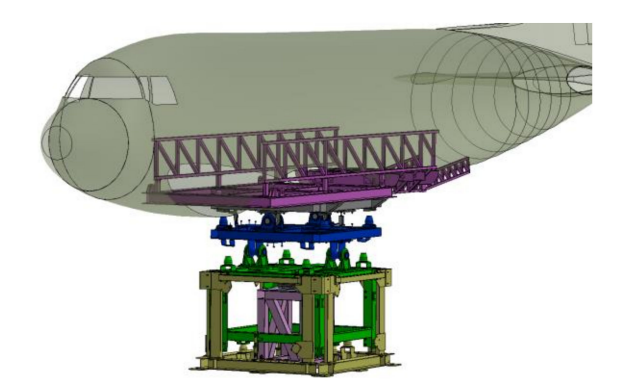
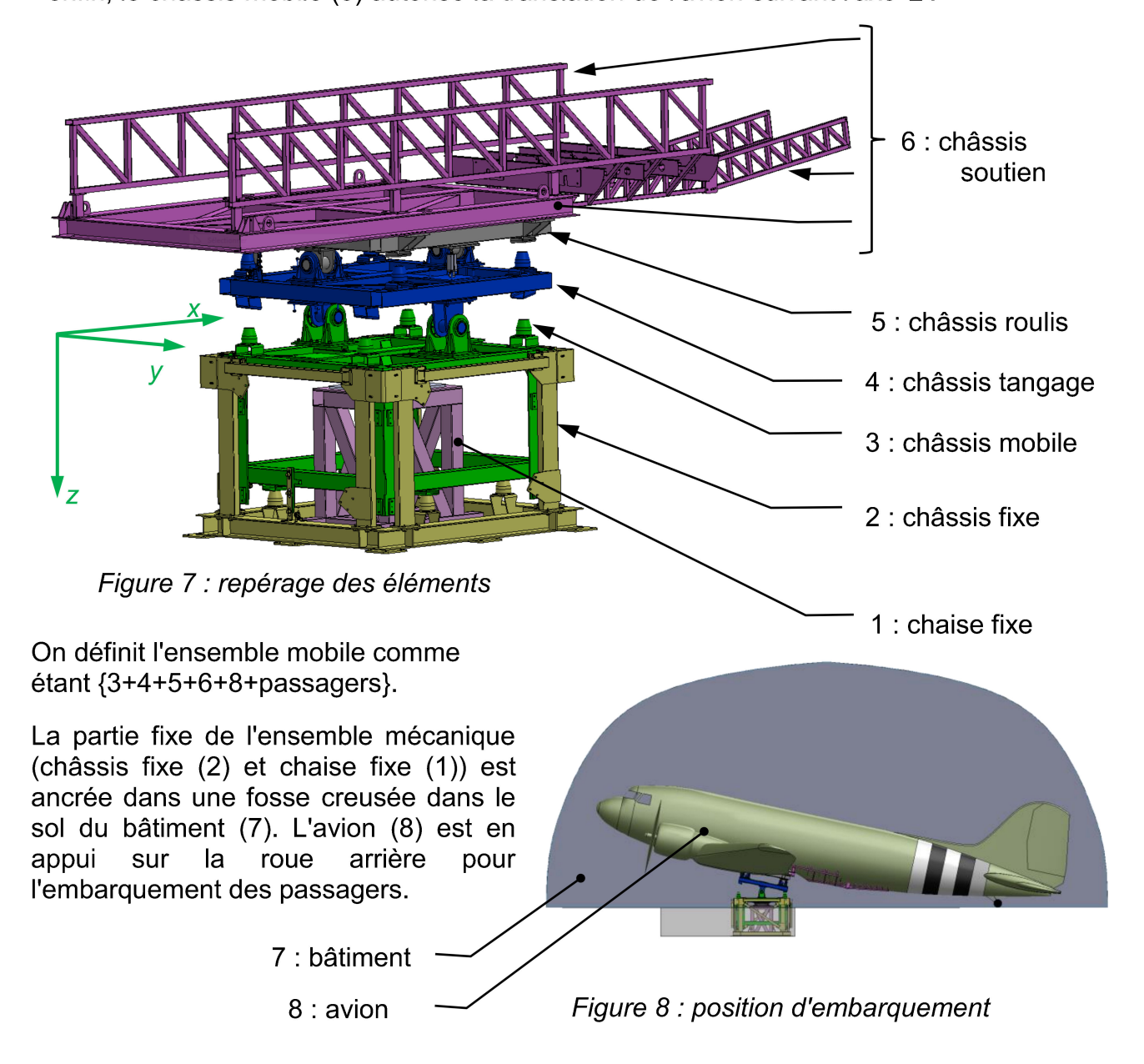


Figure 6 : modélisation du simulateur C-47

Les mouvements de l'avion, montée-descente, roulis et tangage, sont assurés par 3 châssis liés entre eux :

- le châssis roulis (5), en liaison complète avec le châssis soutien (6), permet à l'avion de faire un mouvement de rotation autour de l'axe *x* ;
- le châssis tangage (4), autorise à l'avion un mouvement de rotation autour de l'axe y;
- enfin, le châssis mobile (3) autorise la translation de l'avion suivant l'axe z.



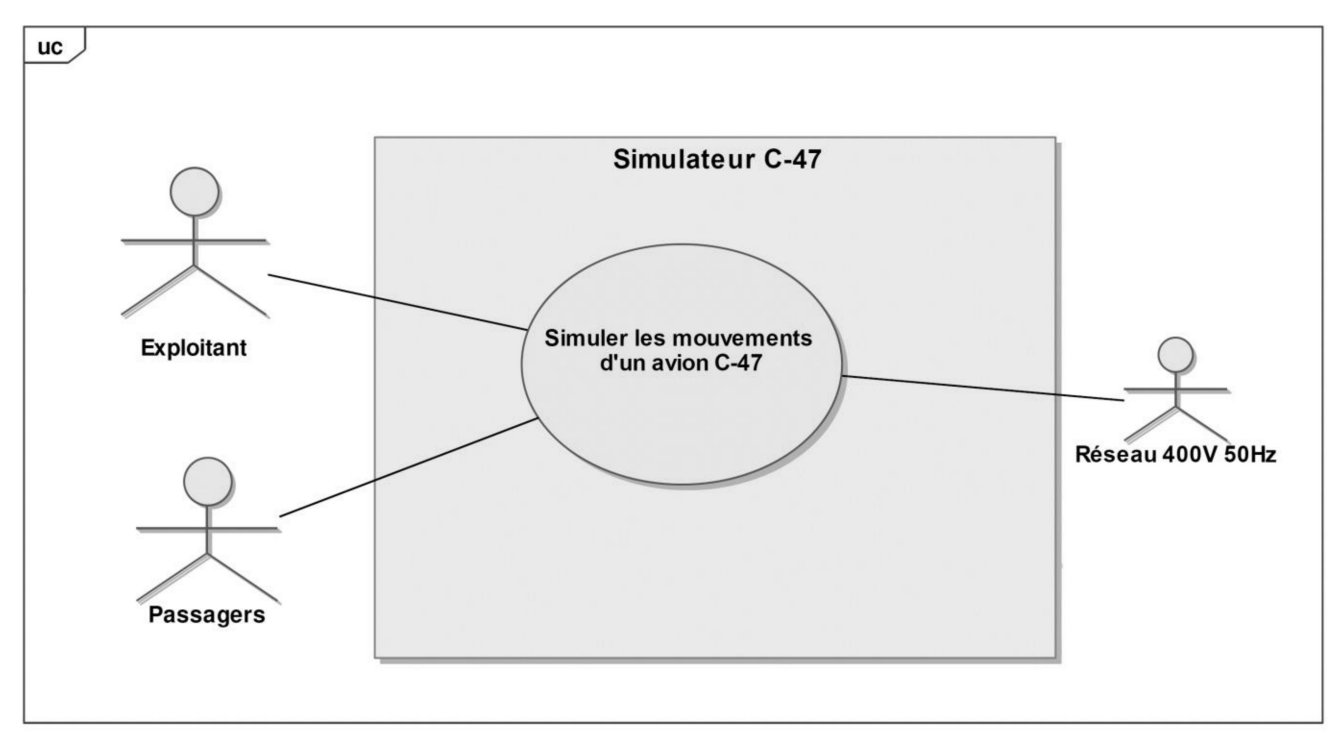


Figure 9 : diagramme de cas d'utilisation

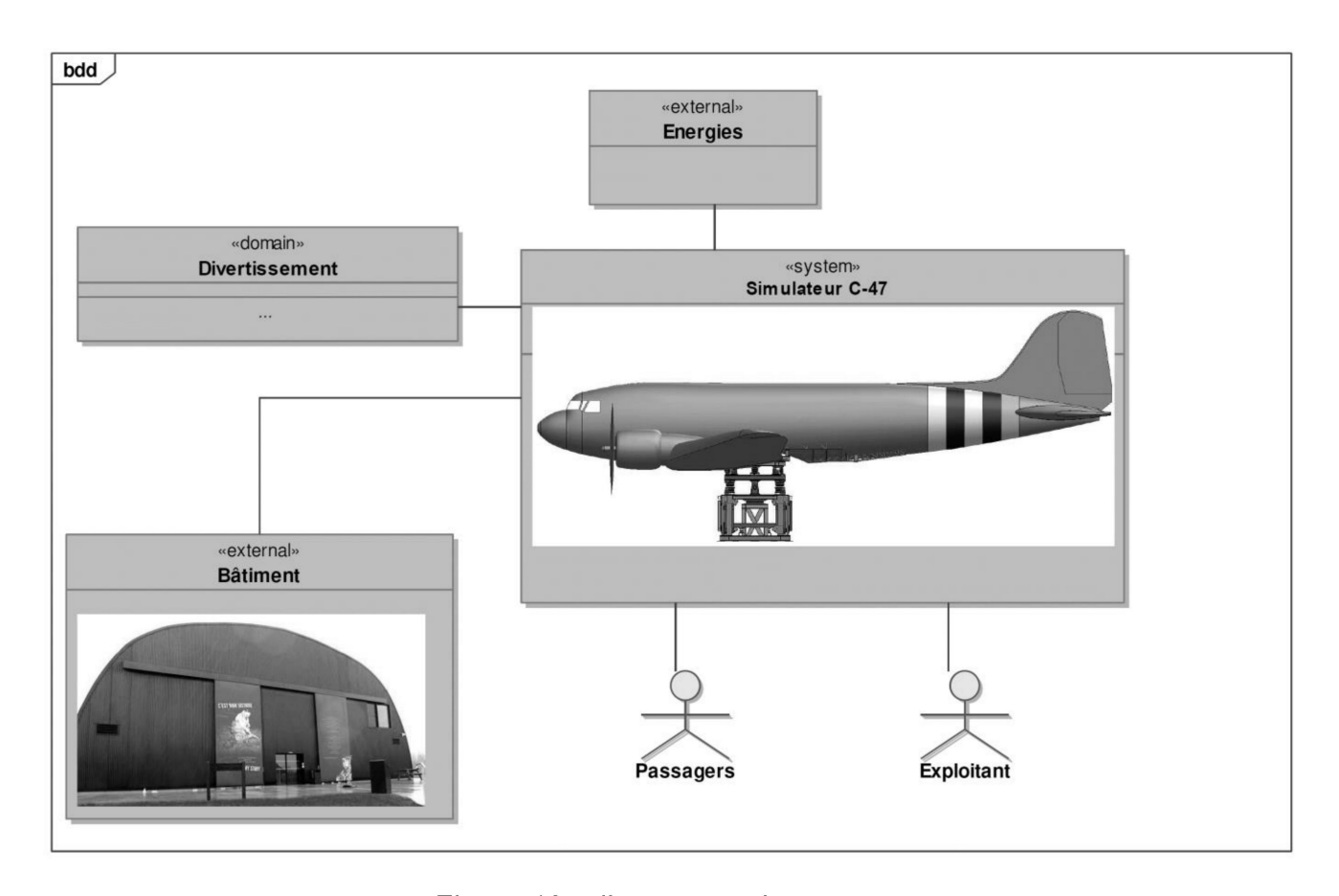


Figure 10 : diagramme de contexte

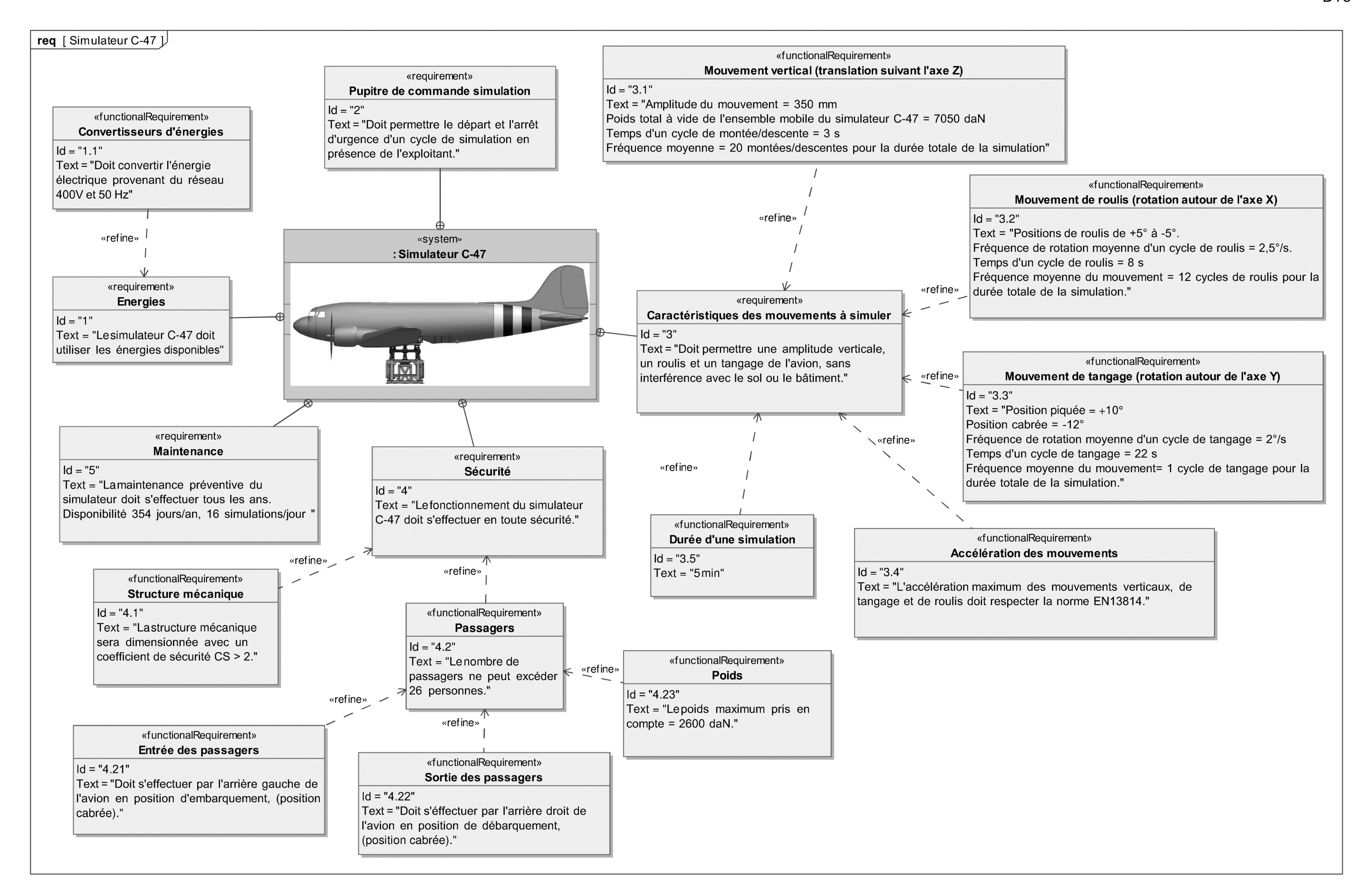


Figure 11 : diagramme des exigences

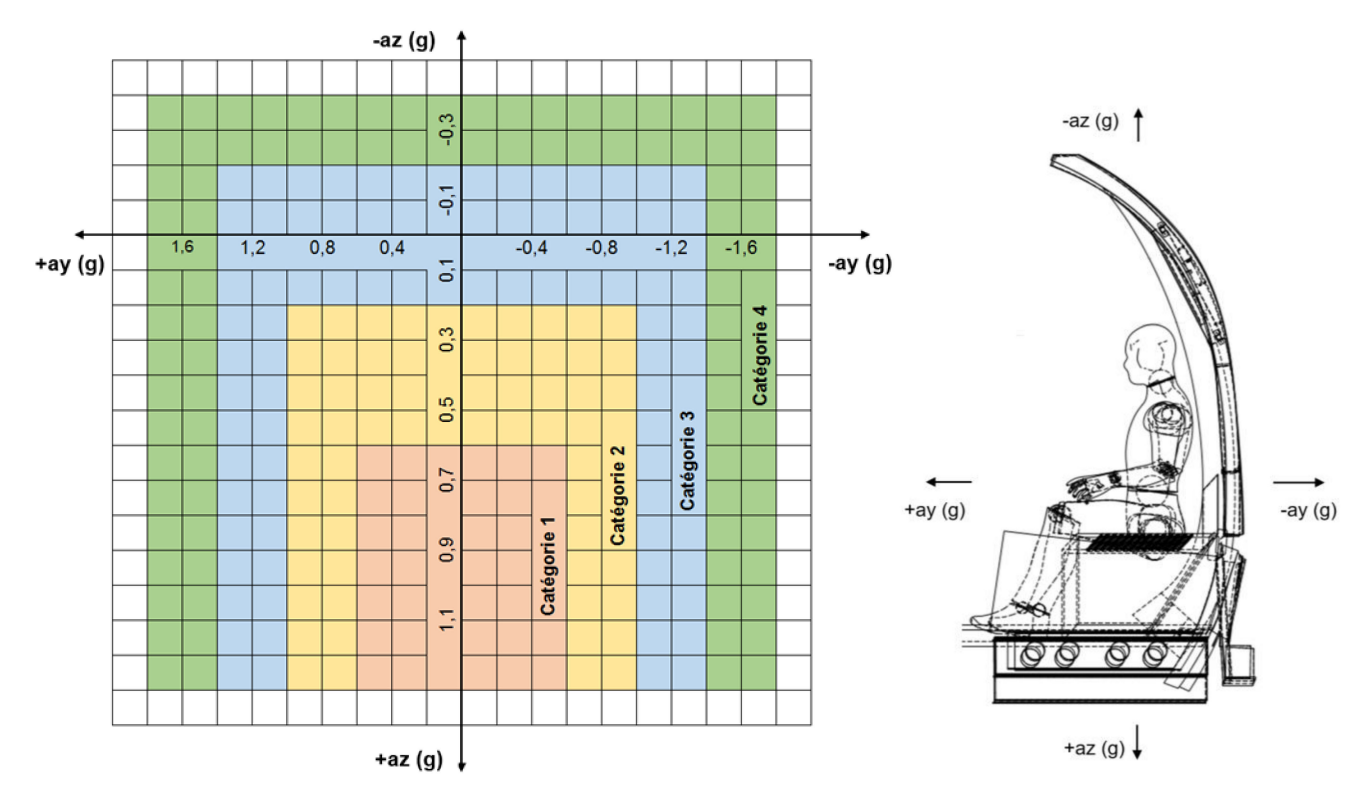


Figure 12 : extrait norme EN 13814, diagramme des 4 catégories de machines et structures concernant les parcs d'attraction.

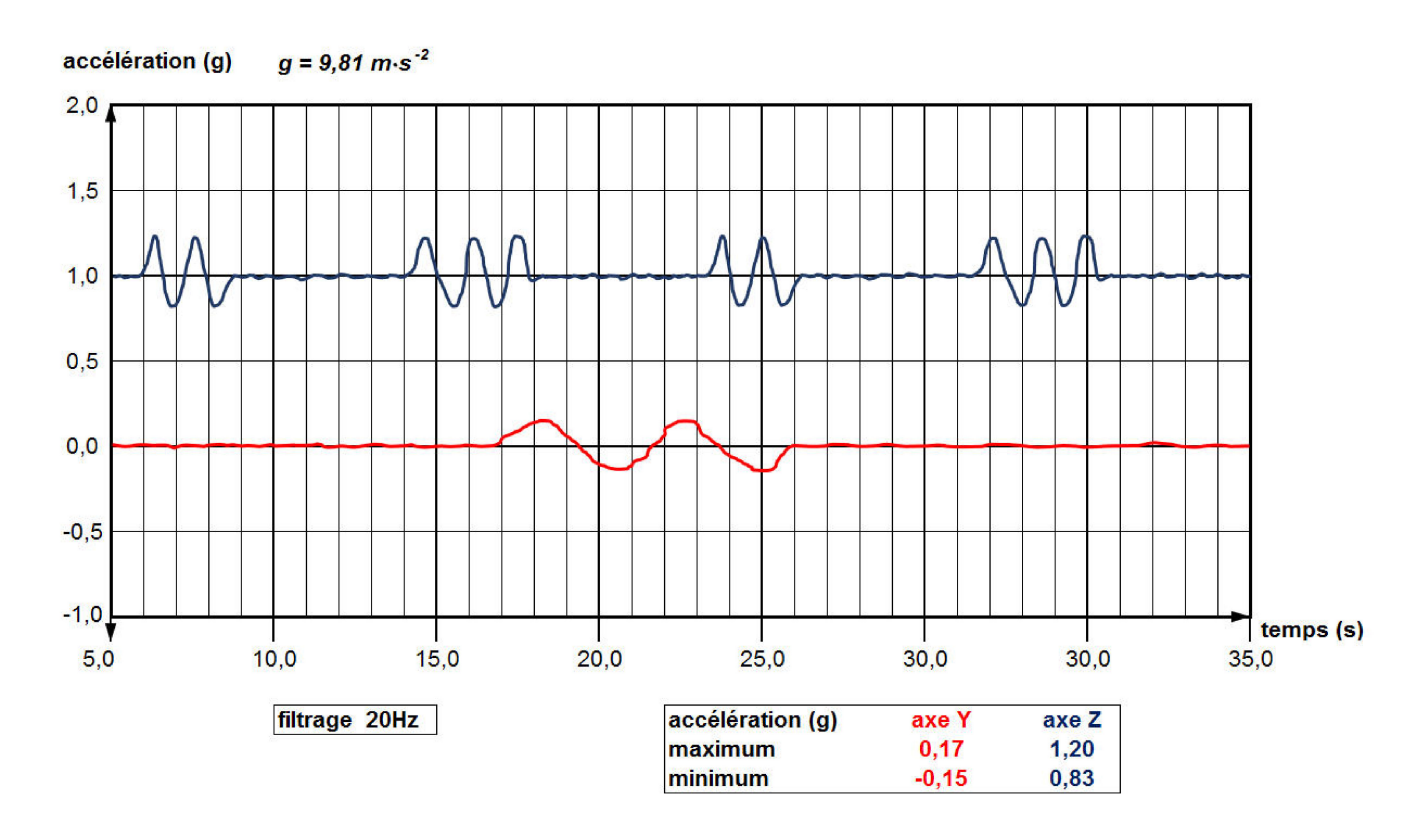


Figure 13 : accélérations subies par un passager lors du scénario représentatif de la simulation du C-47

Vérin électrique ELM 25 05 S

Le vérin électrique transforme l'énergie électrique en énergie mécanique de translation. L'actionneur est constitué d'une vis entraînée par un moteur électrique, qui transforme le mouvement rotatif du moteur en mouvement linéaire de la tige du vérin.



Course maximum de travail	500 mm	
Force dynamique de poussée	62 kN	
Pas de la vis	5 mm	
Diamètre de la tige de vérin	50 mm	
Encombrement (tige rentrée)	Longueur = 942 mm	
Précision de positionnement	1 mm	
Accélération maximum	3 m·s ⁻²	
Vitesse maximum	465 mm⋅s ⁻¹	
Moteur	Servomoteur brushless	
Alimentation électrique	400V 50Hz	
Maintenance	Annuelle, préventive de niveau 3	
Risques pour l'environnement	aucun	
Dangerosité pour l'exploitant	Faible	

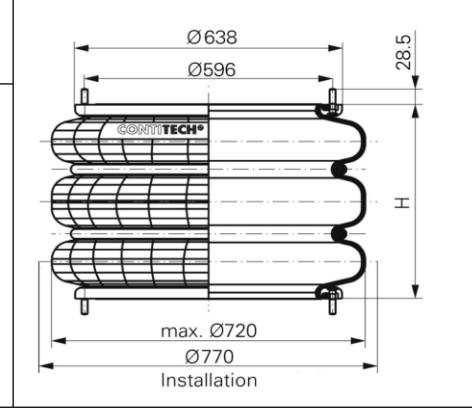
Figure 14 : caractéristiques techniques d'un vérin électrique

Vérin hydraulique double effet SAHGEV 50104 Le vérin hydraulique transforme l'énergie hydraulique en énergie mécanique de translation. L'introduction d'un fluide sous pression dans une des chambres permet le déplacement du piston qui transmet son mouvement à la tige du vérin. 400 mm Course maximum de travail 138 kN Force dynamique de poussée Diamètre du piston 100 mm Encombrement (tige rentrée) 640 mm Précision de positionnement 1 mm 4 m·s⁻² Accélération maximum 400 mm·s⁻¹ Vitesse maximum Pression hydraulique de service 180 bar Maintenance Annuelle, préventive de niveau 4 Risques pour l'environnement Important (fuite interne huile) Très élevée lors d'une rupture de conduite Dangerosité pour l'exploitant hydraulique (d'après ED 018 de l'INRS)

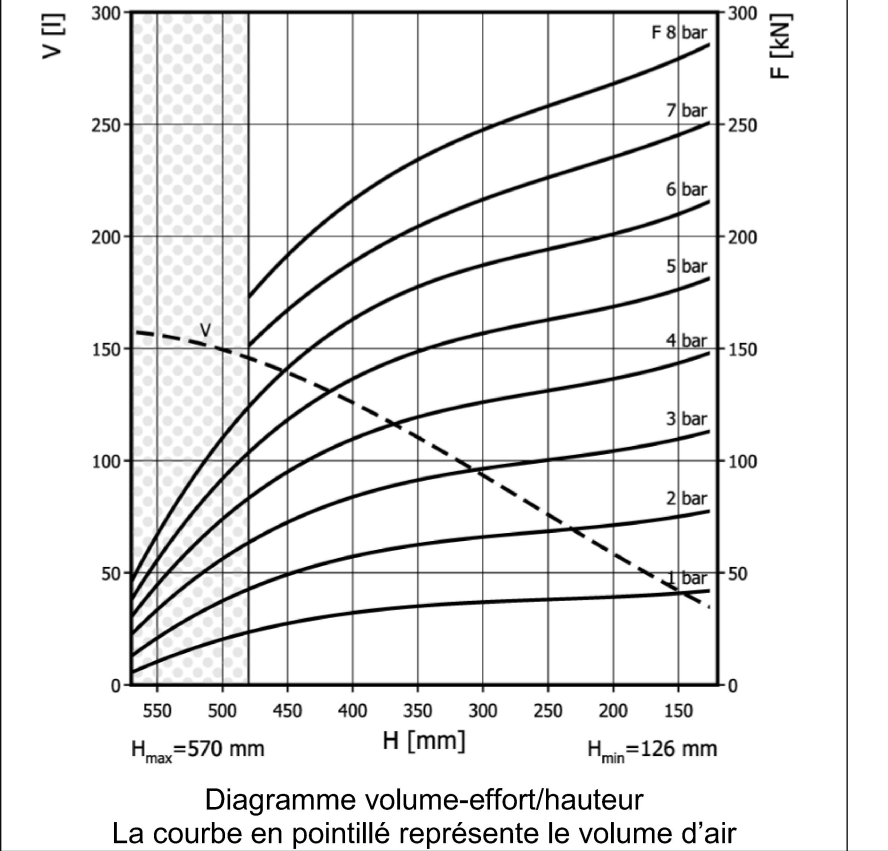
Figure 15 : caractéristiques techniques d'un vérin hydraulique

Vérin pneumatique simple effet à trois ondes CONTITECH FT 2870 45 RS

Le vérin pneumatique souple transforme l'énergie pneumatique en énergie mécanique de translation en se gonflant et en se dégonflant. Il peut être utilisé comme actionneur pneumatique ou comme ressort anti-vibration. Il est composé d'un corps en caoutchouc pris entre deux flasques métalliques pour la fixation. Le vérin se dégonfle en passant à l'échappement.



Course maximum de travail	444 mm	
Inclinaison maximum	a = 10°	
Force de rappel à hauteur minimale	800 N	
Précision de positionnement	5 mm	
Accélération maximum	5 m·s⁻²	
Vitesse maximum	400 mm·s⁻¹	
Pression pneumatique de service	5 bar	
Maintenance	Annuelle, préventive de niveau 2	
Risques pour l'environnement	Aucun	
Dangerosité pour l'exploitant	Faible	



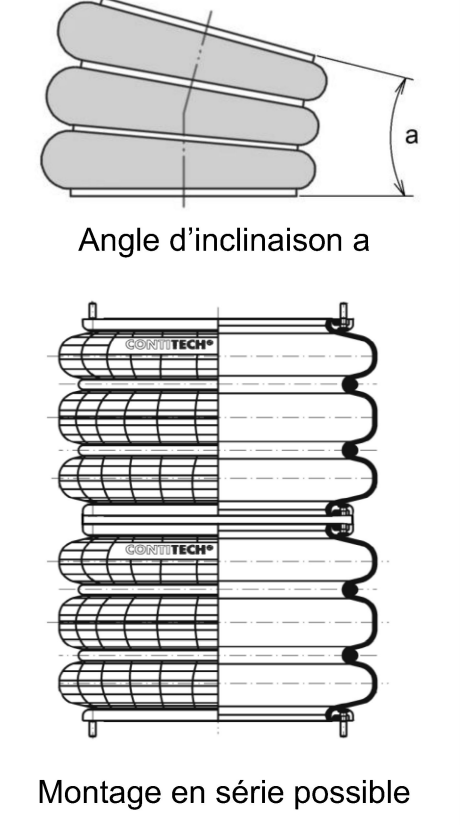
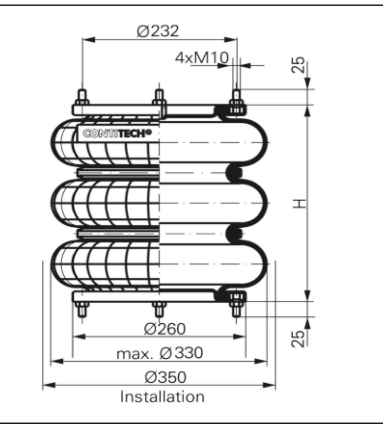


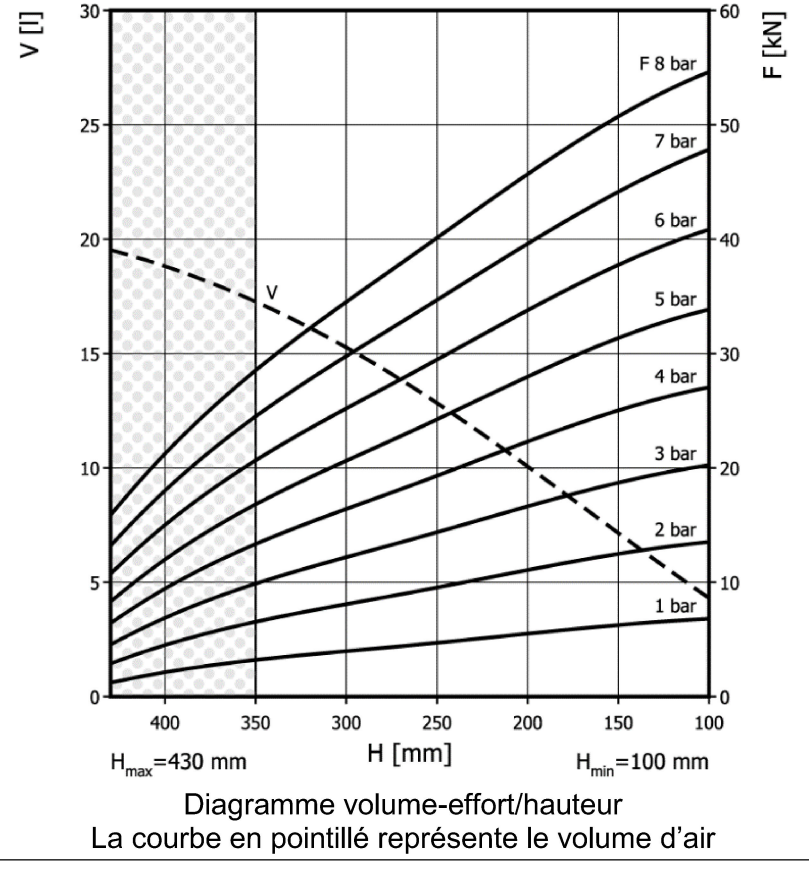
Figure 16 : caractéristiques techniques d'un vérin pneumatique

Vérin pneumatique simple effet à trois ondes CONTITECH FT 412 32 DS

Le vérin pneumatique souple transforme l'énergie pneumatique en énergie mécanique de translation en se gonflant et en se dégonflant. Il peut être utilisé comme actionneur pneumatique ou comme ressort anti-vibration. Il est composé d'un corps en caoutchouc pris entre deux flasques métalliques pour la fixation. Le vérin se dégonfle en passant à l'échappement.



Course maximum de travail	330 mm	
Inclinaison maximum	a = 8°	
Force de rappel à hauteur minimale	250 N	
Précision de positionnement	5 mm	
Accélération maximum	5 m·s⁻²	
Vitesse maximum	500 mm·s⁻¹	
Pression pneumatique de service	5 bar	
Maintenance	Annuelle, préventive de niveau 2	
Risques pour l'environnement	Aucun	
Dangerosité pour l'exploitant	Faible	



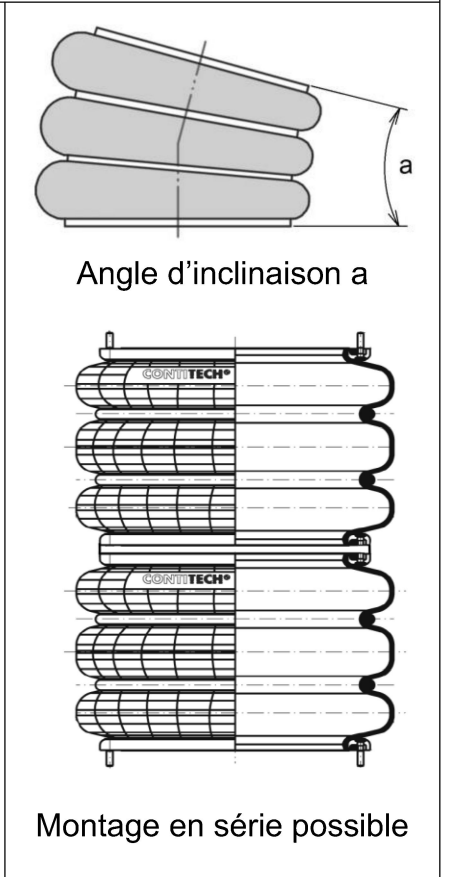
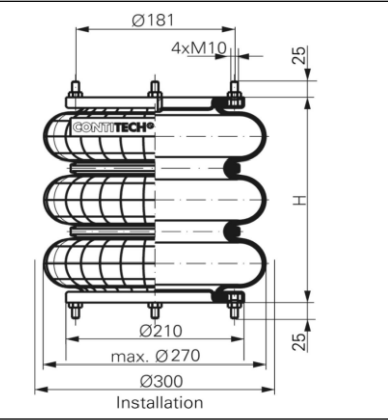


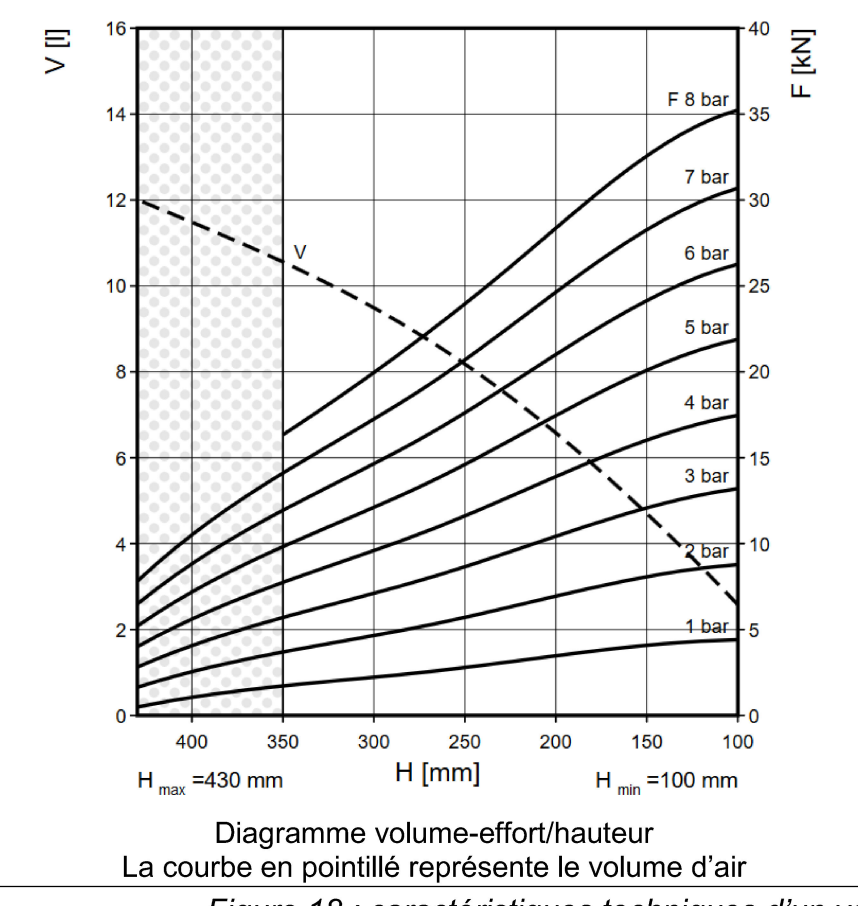
Figure 17 : caractéristiques techniques d'un vérin pneumatique

Vérin pneumatique simple effet à trois ondes CONTITECH FT 210 32 DS

Le vérin pneumatique souple transforme l'énergie pneumatique en énergie mécanique de translation en se gonflant et en se dégonflant. Il peut être utilisé comme actionneur pneumatique ou comme ressort anti-vibration. Il est composé d'un corps en caoutchouc pris entre deux flasques métalliques pour la fixation. Le vérin se dégonfle en passant à l'échappement.



Course maximum de travail	330 mm	
Inclinaison maximum	a = 8°	
Force de rappel à hauteur minimale	250 N	
Précision de positionnement	5 mm	
Accélération maximum	5 m·s⁻²	
Vitesse maximum	600 mm·s ⁻¹	
Pression pneumatique de service	5 bar	
Maintenance	Annuelle, préventive de niveau 2	
Risques pour l'environnement	Aucun	
Dangerosité pour l'exploitant	Faible	



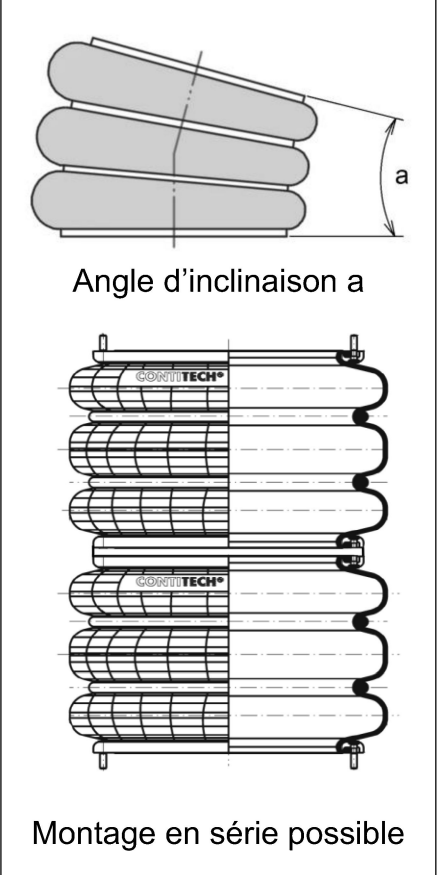


Figure 18 : caractéristiques techniques d'un vérin pneumatique

Compresseur ATLAS COPCO type GA version 50 Hz

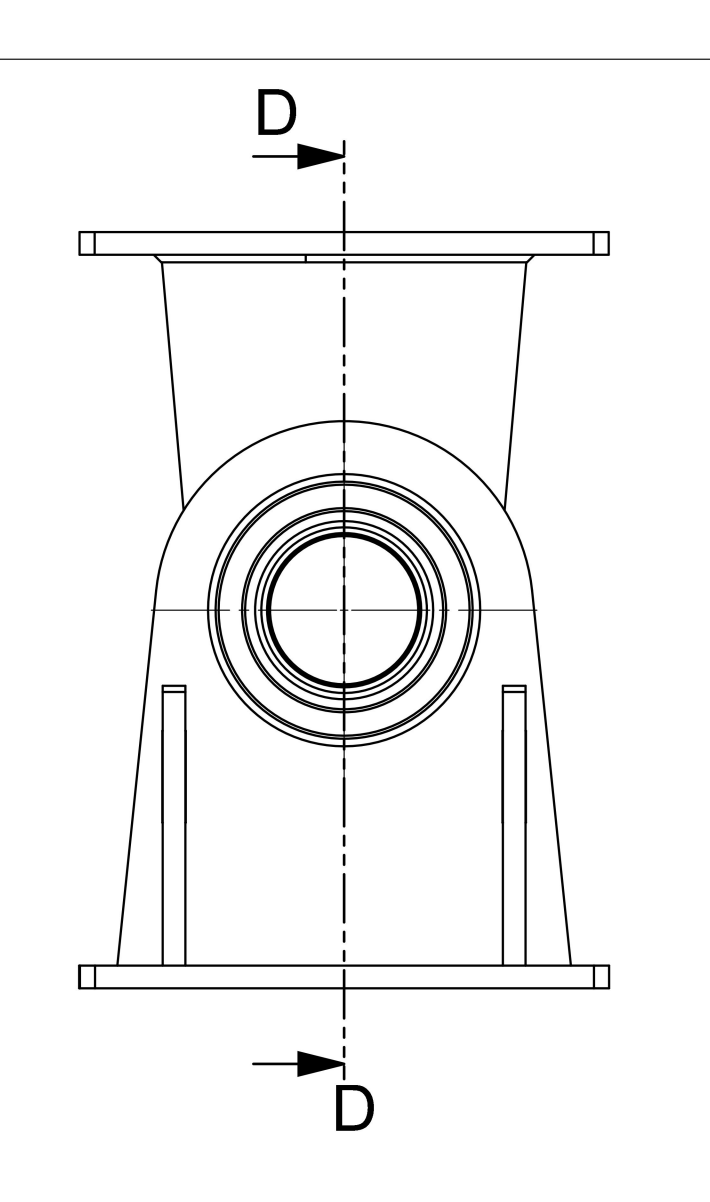


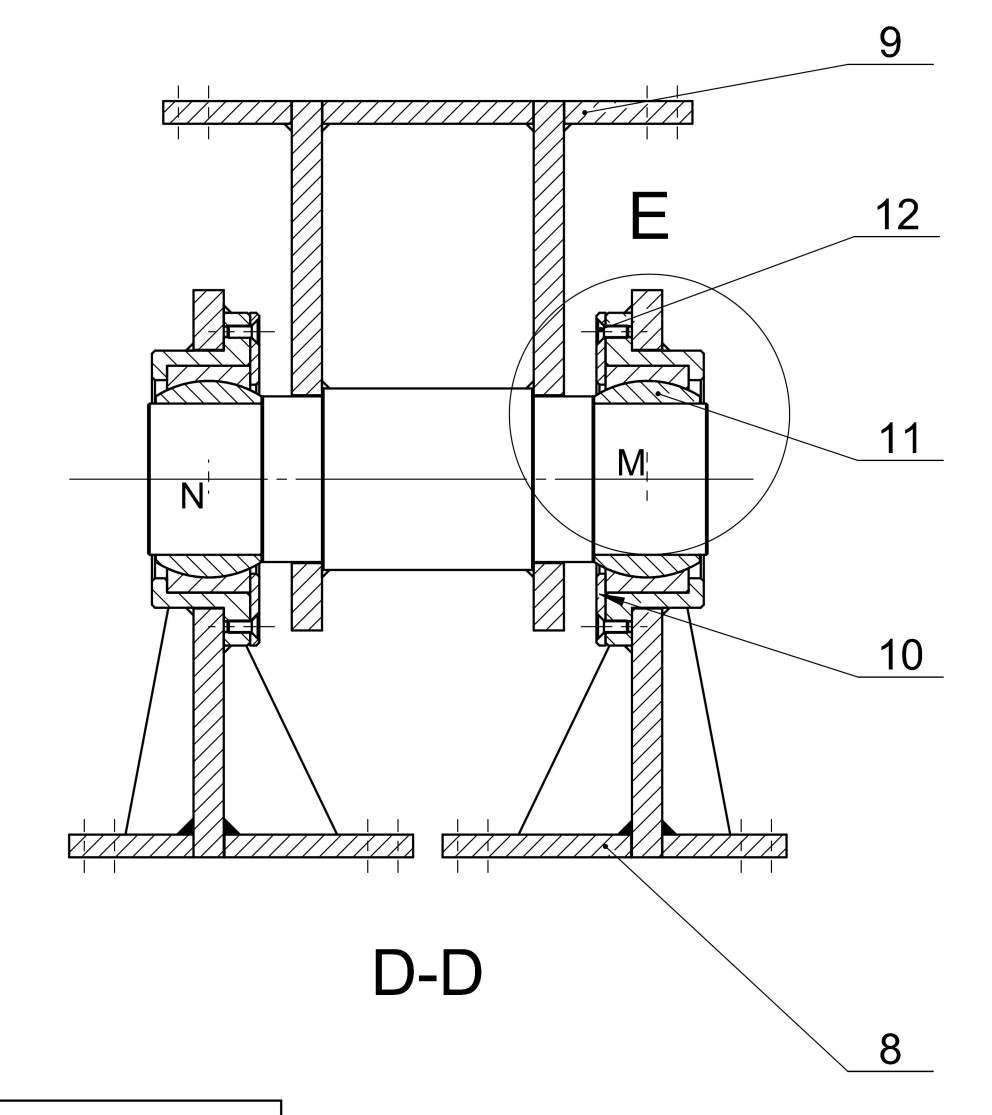
Т	- уре	Pression de sortie (bar)	Dél (m³.		Puissance moteur (kW)	Niveau sonore (dB)
	GA11.7	7,5	110),5	11	62
GA 11	GA11.8	8,5	101	,9	11	62
	GA11.10	10	93	,6	11	62
	GA15.7	7,5	164	,2	15	62
GA 15	GA15.8	8,5	15	7	15	62
	GA15.10	10	136	5,2	15	62
	GA18.7	7,5	20	9	18,5	64
GA 18	GA18.8	8,5	195	5,5	18,5	64
	GA18.10	10	175	5,3	18,5	64

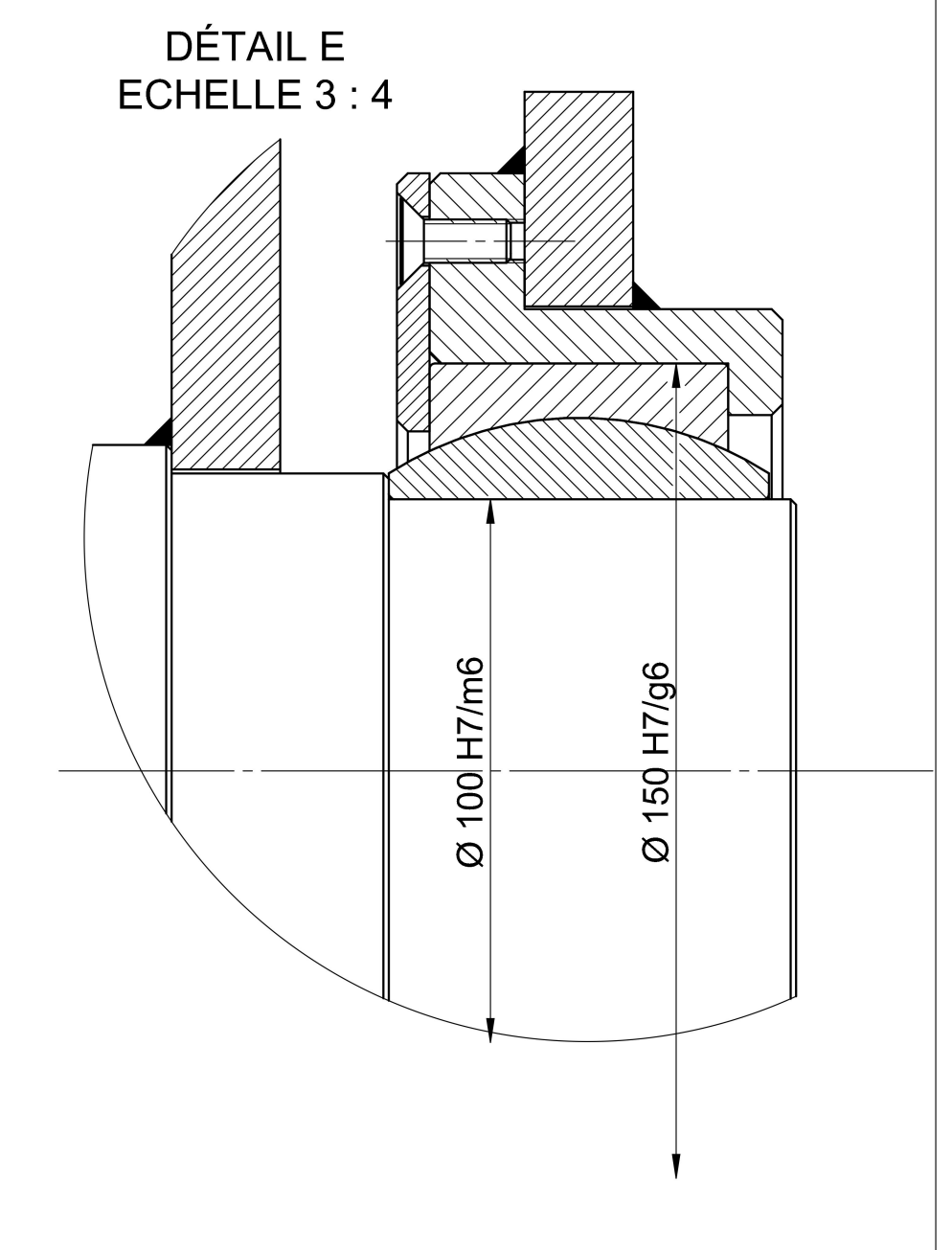
Figure 19 : caractéristiques techniques des compresseurs ATLAS COPCO

$\Delta P =$	$\frac{L\times 450\times (Q_c)^{1,85}}{d^5\times P}$ Tuyau de la canalisation principale		
d	Diamètre intérieur du tuyau (mm)		
ΔΡ	Pertes de charges (bar)		
L	Longueur du tuyau (m)		
Р	Pression d'air de sortie du compresseur (bar)		
Qc	Débit d'air libre du compresseur (l·s-1)		

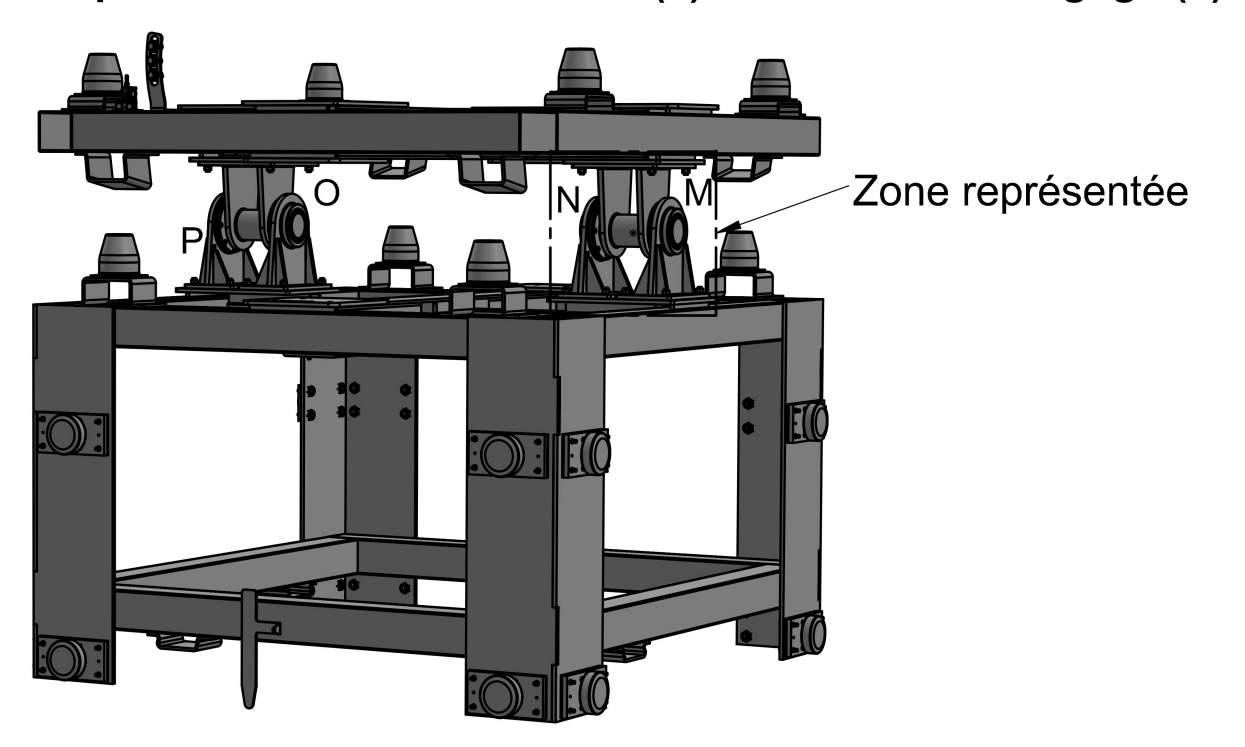
Figure 20 : pertes de charges dans une canalisation d'air comprimé







Vue partielle du châssis mobile (3) et du châssis tangage (4)



Rep.	Nbre	DÉSIGNATION	MATERIAU	OBSERVATION
8	2	SUPPORT BAS D'ARTICULATION	S235	Peinture
9	1	SUPPORT HAUT D'ARTICULATION	S235	Peinture
10	2	FLASQUE DE BLOCAGE	S235	Peinture
11	2	ROTULE		Réf : GE 100 TXA-2LS
12	16	VIS À TÊTE FRAISÉE À SIX PANS CREUX ISO 10642 - M8 x 16		Commerce

ARTICULATION CHÂSSIS MOBILE (3)/CHÂSSIS TANGAGE (4)

Echelle 1:5

Format : A3

DT 12

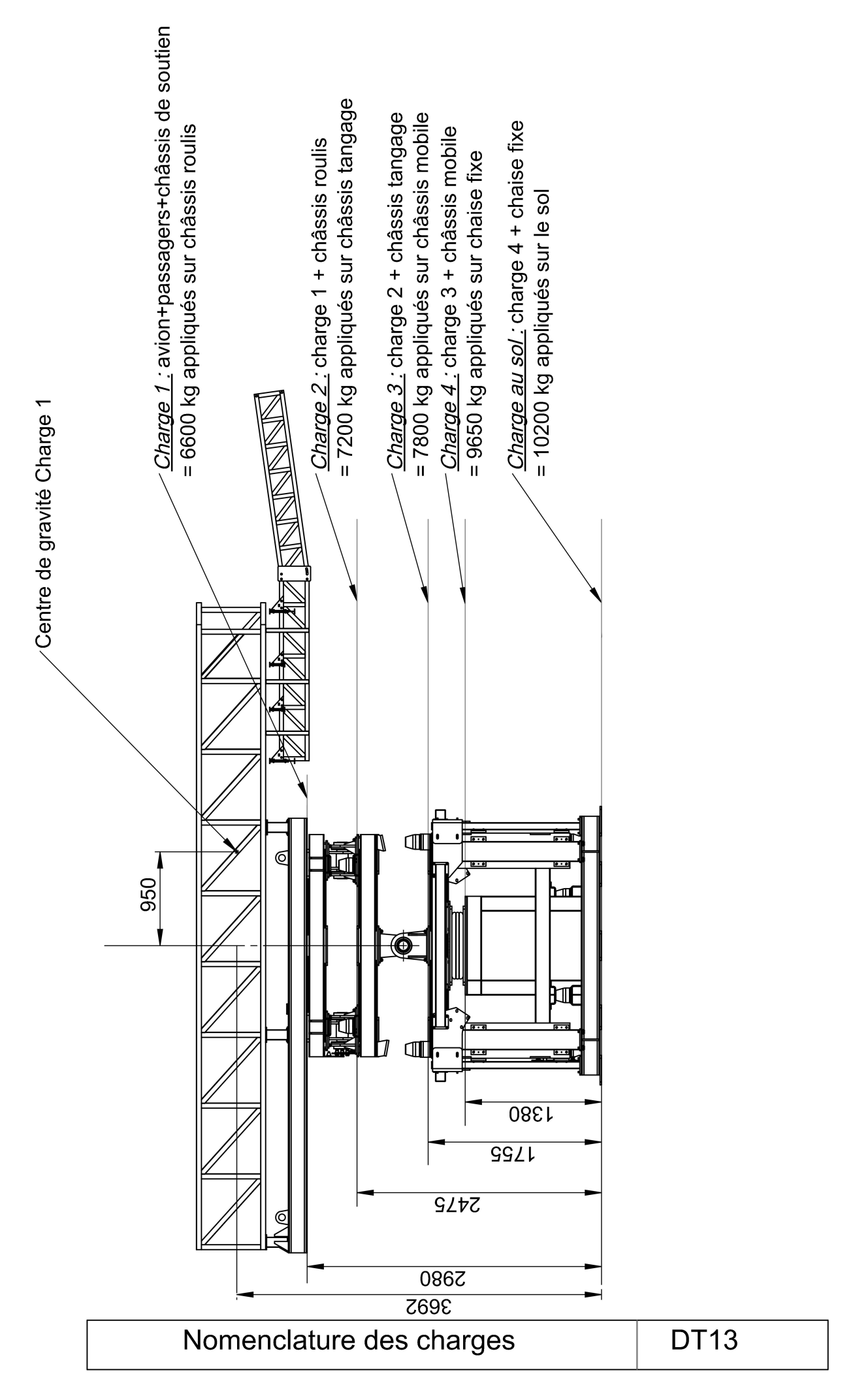


Diagramme 5

Choix de rotules

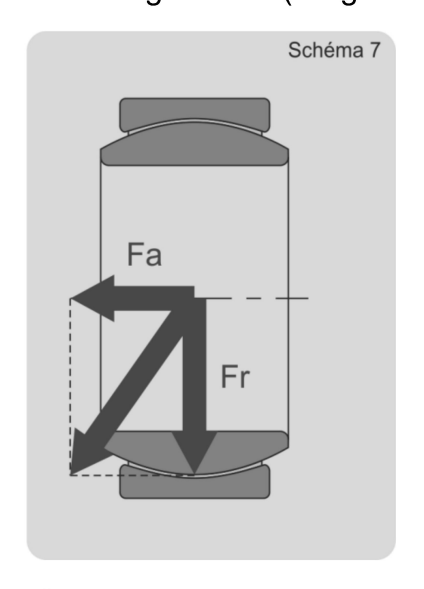
Charge de palier dynamique équivalente

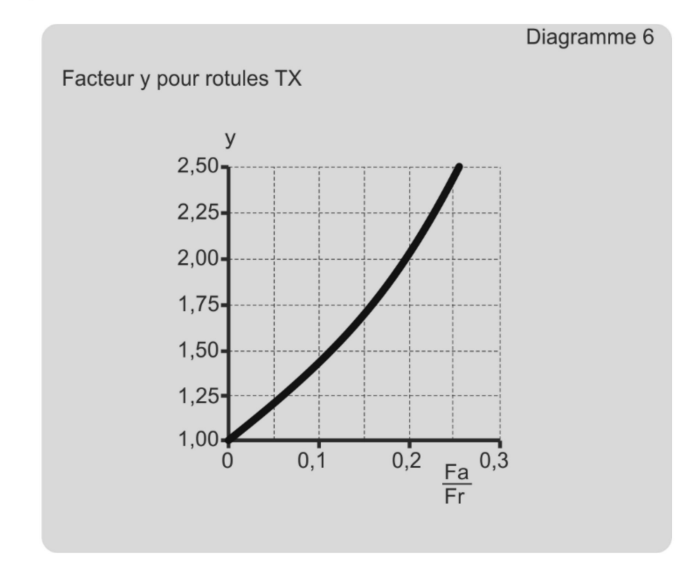
Les rotules TX peuvent supporter une certaine charge axiale Fa en plus d'une charge radiale Fr (Schéma 7) agissant simultanément. La charge dynamique équivalente peut être obtenue à partir de $P = y \times F_r$ avec :

P = charge dynamique équivalente (en kN)

 F_r = composante radiale de la charge (en kN)

y = facteur de charge axiale (Diagramme 6)





Charge spécifique du palier

P = charge dynamique équivalente (en kN)

C = charge de base (en kN)

p = charge dynamique spécifique du palier (en N·mm⁻²)

La charge spécifique du palier peut être calculée à partir de $p=300x \frac{r}{C}$

Vitesse moyenne de glissement

Pour un mouvement continu, la vitesse moyenne de glissement peut être déterminée à l'aide de l'équation $v = 5.82 \times 10^{-7} \times d_k \times \beta \times f$ avec :

v = vitesse moyenne de glissement (m.s⁻¹) Lorsque le fonctionnement est intermittent (non continu), la vitesse moyenne de glissement doit être calculée pour un cycle complet de travail. d_k = diamètre de la sphère de la bague intérieure (mm)

 β = demi-angle d'oscillation (figure 5) degrés (°), pour les mouvements de rotation β = 90° f = fréquence d'oscillation (min⁻¹) ou vitesse de rotation (min⁻¹)

Pour un mouvement intermittent, l'angle d'oscillation est généralement indiqué en unités de temps. Dans ce cas, la vitesse moyenne de glissement peut être extraite de l'équation

 $v = 8,73 \times 10^{-6} \times d_k \times (4 \beta/t)$ avec :

 β = demi-angle d'oscillation (°) (figure 5)

t = temps nécessaire pour une oscillation complète (s)

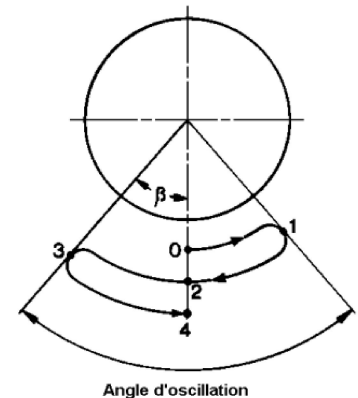


Figure 5

Vie de base

La méthode de calcul de la durée de vie de base pour les paliers lisses TX prend en compte les améliorations apportées aux paliers. L'équation est $G_h = b_1 \times b_2 \times b_4 \times \frac{K_p}{p^n \times V}$ avec :

Facteur de vitesse b

1,0

0,9

0,8

0,7

0,6

0,5 0,4

0,3 0,2 0,1 0.0 p=5 N.mm

p = 20 N.mm

p = 40 N mp

0,005 0,01

 G_h = durée de vie de base (en heures)

 b_1 = facteur de sens de charge (Tableau 1)

 b_2 = facteur de température (Diagramme 4)

 b_4 = facteur de vitesse (Diagramme 5)

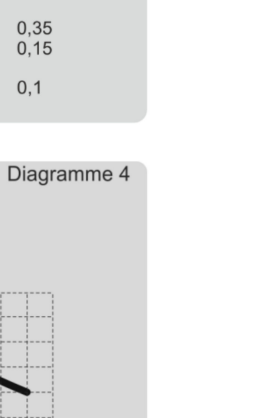
p = charge spécifique du palier (en N·mm⁻²)

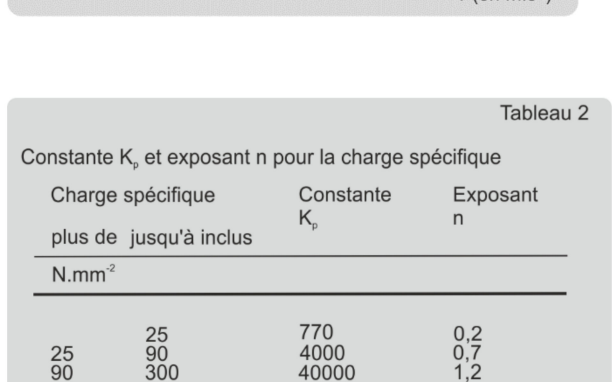
 K_p = constante pour la charge de palier spécifique (Tableau 2)

n = exposant pour la charge de palier spécifique (Tableau 2)

v = vitesse de glissement moyenne (en m·s⁻¹)

		Tableau 1
acteur de charge b ₁		
Type de charge	Charge spécifique (N.mm ⁻²)	Facteur b₁
Constant unidirectionnel	jusqu'à 300 Hz	1
Charges variables e	n fréquence	
Fréquence de charge jusqu'à 0,5 Hz	jusqu'à 50 Hz entre 50 et 100 Hz	0,55 0,4
plus de 0,5 à 1 Hz	jusqu'à 50 Hz entre 50 et 100 Hz	0,35 0,15
plus de 0,5 à 5 Hz	jusqu'à 50 Hz	0,1





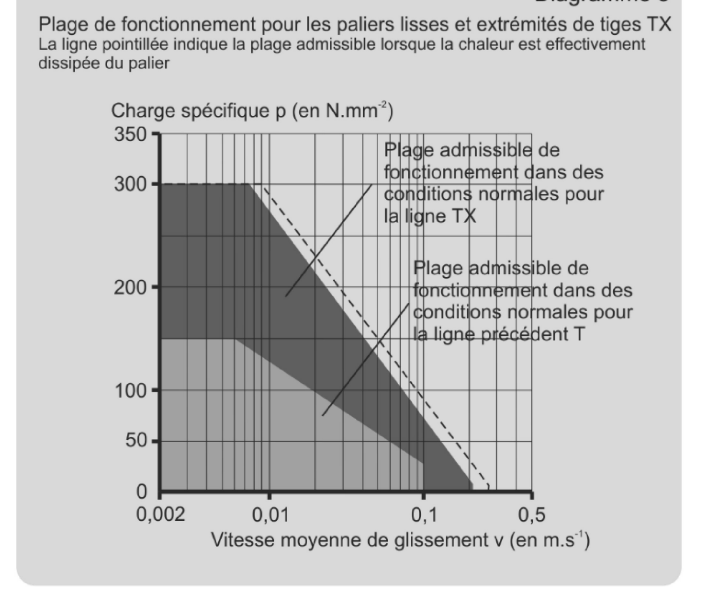
0,6 0,4 20 40 60 80 100 120 140 160 t (en °C)

Plage de fonctionnement étendue

Facteur de température ba

0,8

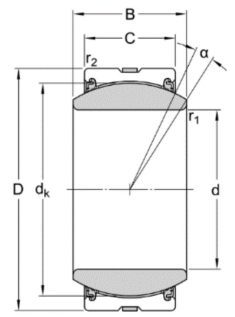
La ligne TX de paliers lisses peut non seulement supporter des charges plus lourdes, mais elle peut également atteindre des vitesses de glissement plus élevées que les précédentes (Diagramme 3). Ces paramètres de fonctionnement améliorés permettent aux ingénieurs de conception d'utiliser des paliers à billes sphériques TX sans entretien là où cela n'était peut-être pas possible auparavant.



Rotules sphériques et extrémités de tige TX haute performance

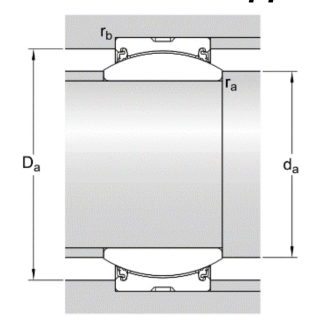
Rotule référence : GE 100 TXA-2LS

Dimensions



d (mm)	D (mm)	B (mm)	C (mm)	
100	150	70	55	
α (°)	d _k (mm)	r ₁ (mm)	r ₂ (mm)	
6	130	1 min	1 min	

Dimensions d'appui



d _a (mm)	Da (mm)	r _a (mm)	r _b (mm)
108 min.	131 min.	1 max	1 max
109,5 max.	144 max.		

Données de calcul

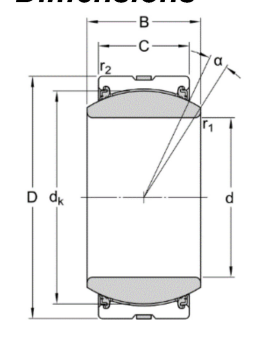
Charge dynamique de base	С	1730 kN
Charge statique de base	C_{O}	2850 kN
Facteur de charge dynamique spécifique	K	300 N·mm ⁻²
Facteur de charge statique spécifique	K_0	500 N·mm ⁻²

Masse

Masse de la rotule 4,3 kg

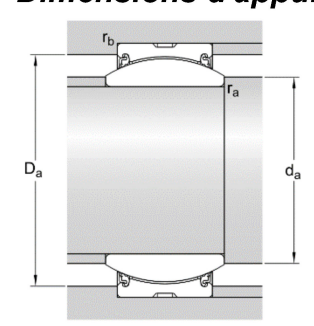
Rotule référence : GE 40 TXE-2LS

Dimensions



d (mm)	D (mm)	B (mm)	C (mm)
40	62	28	22
α (°)	d _k (mm)	r ₁ (mm)	r ₂ (mm)
6	53	0,6 min.	1 min.

Dimensions d'appui



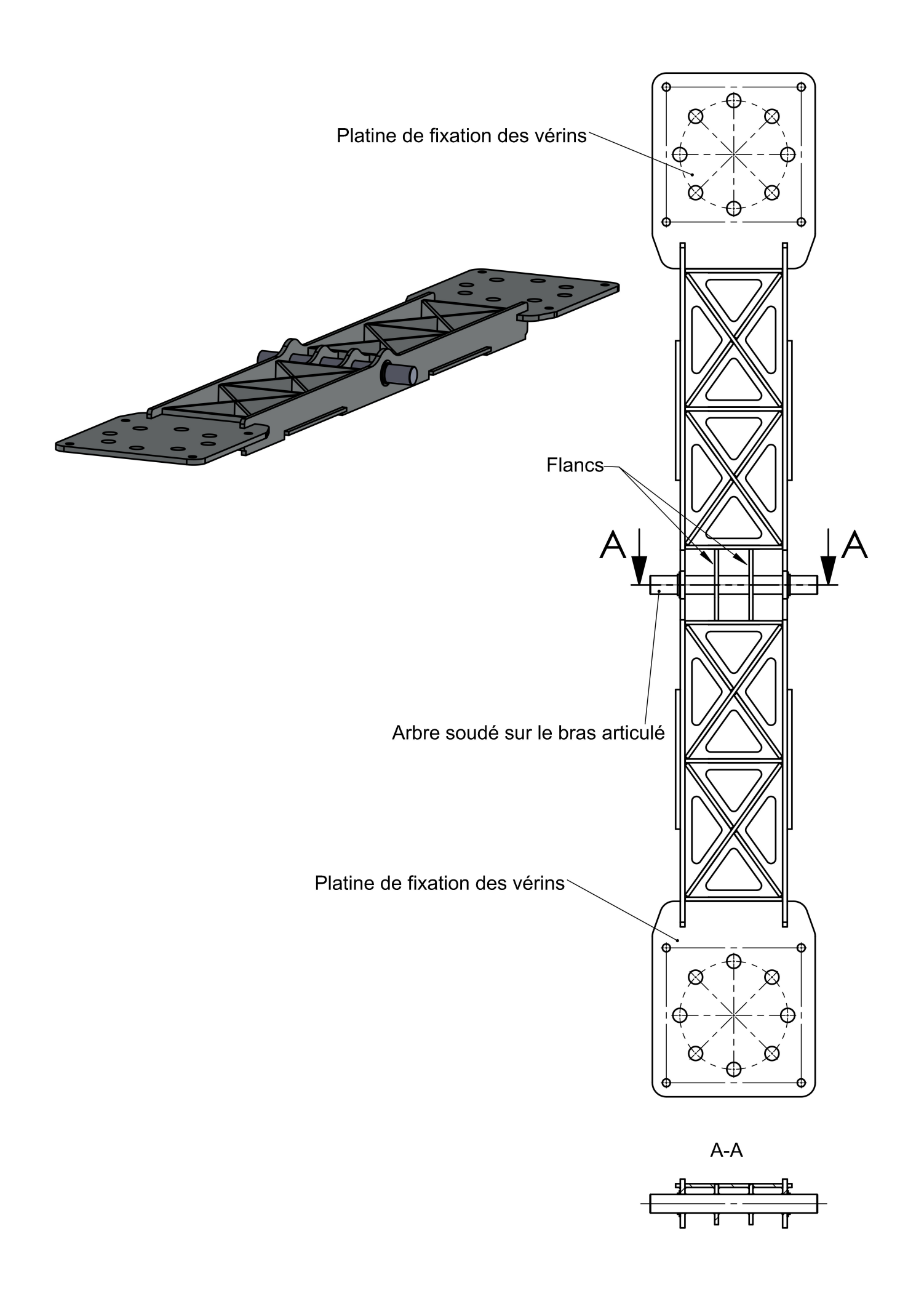
d _a (mm)	Da (mm)	r _a (mm)	r _b (mm)
43,5 min.	54,5 min.	0,6 max	1 max
45 max.	57,5 max.		

Données de calcul

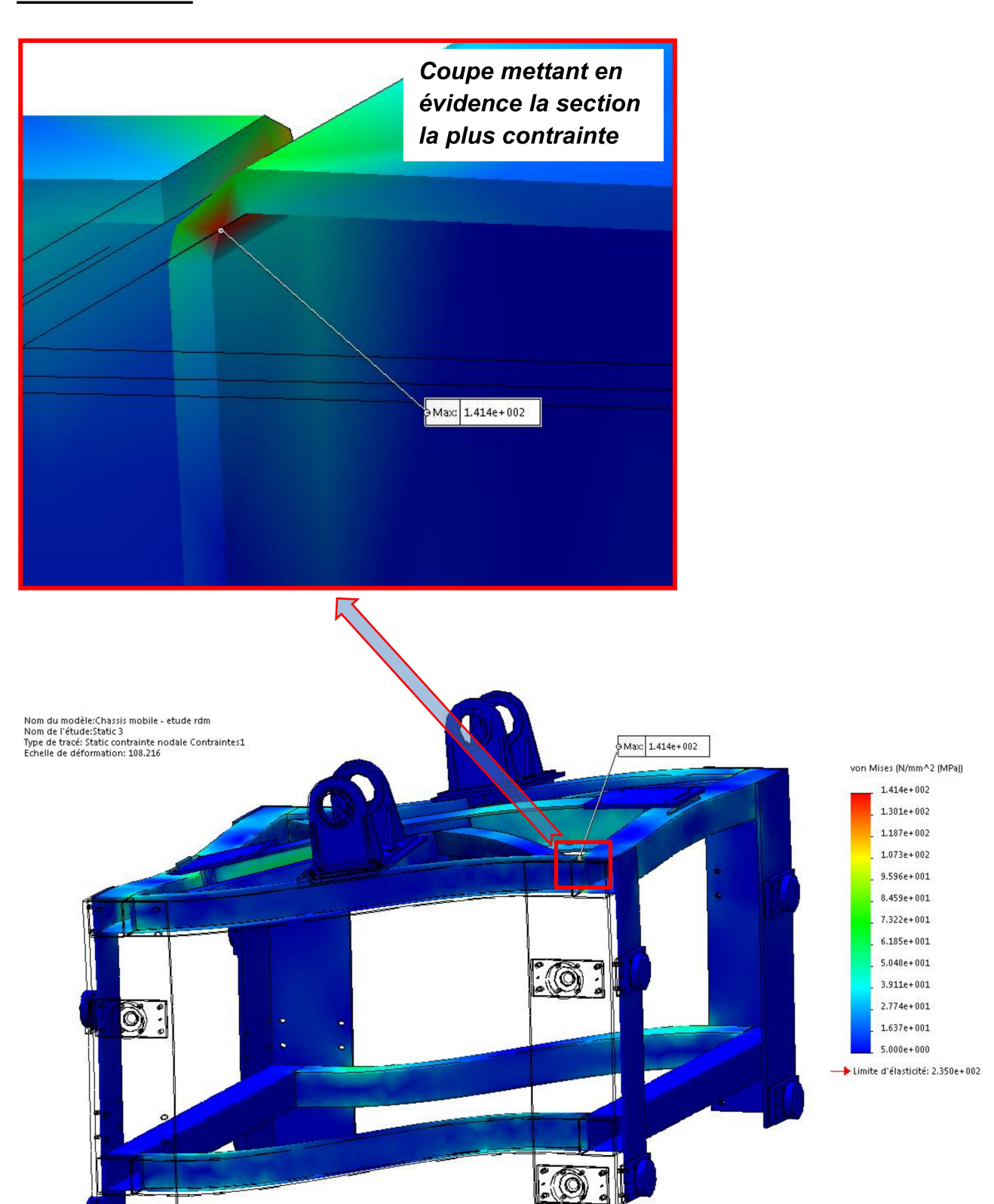
Charge dynamique de base	С	280 kN
Charge statique de base	C_{O}	465 kN
Facteur de charge dynamique spécifique	K	300 N⋅mm ⁻²
Facteur de charge statique spécifique	K_0	500 N·mm ⁻²

Masse

Masse de la rotule 0,32 kg



Châssis mobile : Contraintes



BREVET DE TECHNICIEN SUPERIEUR CONCEPTION DE PRODUITS INDUSTRIELS SESSION 2019

Épreuve E4 – Étude préliminaire de produit

Unité U42 – Conception préliminaire

DOSSIER TRAVAIL

Ce dossier comporte 9 pages.

Il est conseillé de consacrer à chacune des parties les durées suivantes :
Lecture des documents techniques
Partie 1 Vérifier que l'avion n'interfère pas avec le bâtiment
Partie 2 Choisir un type d'énergie et d'actionneurs pour la mise en mouvement
Partie 3 Valider la chaine d'énergie pneumatique du simulateur
Partie 4 Vérifier les choix technologiques garantissant le bon fonctionnement du tangage 1h15
Partie 5 Fiabiliser le système de tangage par l'ajout d'un mécanisme
Partie 6 Valider la conception du châssis mobile en conformité avec les impératifs de sécurité 0h15

Objectif: vérifier que l'avion n'interfère pas au cours du mouvement avec le bâtiment.

Question 1:	Sur le DR1, compléter le schéma cinématique minimal du mécanisme	
DR1 DT1, DT2, DT3	permettant au simulateur les mouvements de tangage, roulis et montée-descente.	

Sur le DR2, l'avion est orienté perpendiculairement à l'axe longitudinal du bâtiment et en position cabrée maxi soit -12°.

Question 2 : DR2 DT4, DT5	Sur le DR2, tracer les trajectoires des points $E_{\in 3/1}$, centre de la liaison entre le châssis mobile (3) et le châssis fixe (1+2), et $F_{\in 8/1}$ lors du mouvement vertical.
Question 3 :	Sur le DR2, tracer la position des points E et F, noté E ₁ et F ₁ , lorsque
DR2 DT4, DT5	l'avion est en position haute.
Question 4 : DR2 DT4, DT5	Sur le DR2, tracer la trajectoire du point F∈8/1 lors du mouvement de tangage, l'avion étant en position haute.
Question 5 : DR2 DT4, DT5	Sur le DR2, tracer la position du point F, notée F ₂ lorsque l'avion est en position haute et en piqué maxi.
Overtion 6	Le constructeur e chaisi une orientation différente de llevier ner report
Question 6 : Feuille de copie	Le constructeur a choisi une orientation différente de l'avion par rapport au bâtiment. Sur feuille de copie, justifier la nécessité de ce changement d'orientation.
Question 7: DR2 DT4, DT5	Sur le DR2, tracer la trajectoire du point H∈8/1 lors du mouvement de tangage l'avion étant en position basse.
Question 8 : DR2 DT4, DT5	Sur le DR2, tracer la position la plus basse du point H, notée H ₁ , lorsque l'avion est en position basse et en piqué maxi.
Question 9 : Feuille de copie	Le concepteur envisage de supprimer l'aile droite complètement et de désolidariser l'aile gauche de la carlingue. Sur feuille de copie, indiquer

les bénéfices qu'il peut tirer de cette suppression.

DT2, DT3

<u>Objectif</u>: valider un type d'énergie et les actionneurs choisis pour déplacer verticalement la partie mobile du simulateur C-47.

	Question 10 :	Les machines et structures des parcs d'attraction sont classées par
Sur feuille de copie, en déduire, à l'aide de la figure 12 du DT6, le catégorie à laquelle appartient le simulateur.		Sur feuille de copie, en déduire, à l'aide de la figure 12 du DT6, la

Question 11 :	Sur feuille de copie, calculer le poids total P_T de l'ensemble mobile du
Feuille de copie	simulateur C-47 lorsqu'il accueille 26 passagers.
DT5, DT13	

Sur le DT6, les valeurs de l'accélération a_z suivant l'axe z incluent l'accélération de la pesanteur : $a_z=a_v+g$

	pie, calculer l'accélération $a_{\scriptscriptstyle V}$ du système lors de la
mobile du simula	principe fondamental de la dynamique à l'ensemble teur C-47, déterminer l'action mécanique verticale ecessaire que doit exercer l'actionneur.

Le bureau d'étude de la société CL CORPORATION a retenu, sur des critères d'encombrement, trois types d'actionneurs de technologies différentes : électrique, pneumatique et hydraulique.

Hypothèse:

• l'effort à fournir pour translater verticalement l'ensemble mobile du simulateur C-47 est estimée à 116 kN.

Question 13 :	Sur feuille de copie, calculer, pour chaque type de technologie, le nombre
Feuille de copie DT7, DT8	d'actionneurs nécessaires. Indiquer si ce calcul permet de choisir une technologie parmi les trois envisagées.

Question 14 :	Sur le DR3, compléter la matrice de pondération multicritères.
<i>DR</i> 3 DT7, DT8	Choisir la solution technologique pour mettre en mouvement le simulateur C-47.

Objectif: valider la chaine d'énergie pneumatique du simulateur C-47.

Problématique 1 : déterminer les caractéristiques du compresseur

On définit un cycle comme étant un mouvement d'aller-retour. Pour garantir les mouvements de tangage et de roulis, le nombre de vérin est doublé pour assurer l'aller et le retour.

Question 16 : DR4 DT8, DT9, DT10	Sur le DR4, à partir des diagrammes des DT8 à DT10, indiquer le volume d'air nécessaire pour garantir la course de travail de chaque vérin. En déduire par calcul le volume d'air comprimé nécessaire pour assurer les mouvements du simulateur C-47 pendant un cycle.
Question 17: DR4 DT5, DT8, DT9, DT10	Sur le DR4, déterminer, pour chacun des vérins, le débit maximum d'air comprimé pendant un cycle. En considérant que les mouvements, vertical, de tangage et de roulis peuvent être simultanés, calculer le débit total maximum d'air comprimé.
Question 18 : Feuille de copie DT11	Sur feuille de copie, sachant que la pression de service du compresseur est de 7 bars, choisir le type de compresseur pouvant convenir.

Problématique 2 : déterminer la capacité de stockage en air comprimé.

Le bureau d'étude de CL CORPORATION souhaite stocker de l'air comprimé dans des cuves. Ce stockage de sécurité doit permettre de fournir la totalité de l'énergie consommée pendant une simulation du C-47, en cas de panne du compresseur.

Données:

- la pression de service des vérins est de 5 bars ;
- l'énergie emmagasinée par un volume V (en m³) de gaz la pression P (en Pa), est donnée par la formule $E = P \times V$;
- l'énergie est stockée dans des cuves à la pression de 7 bars ;
- le volume de chaque cuve de stockage est de 900 litres.

Question 19 : DR4 DT5	Sur le DR4, indiquer le nombre de cycles effectués par chaque vérin pendant la simulation.
Question 20 : DR4 DT8 à DT10	Sur le DR4, calculer le volume d'air consommé par les vérins de tangage et de roulis pendant la simulation. Calculer l'énergie consommée par les vérins de tangage et de roulis durant la simulation. En déduire l'énergie totale consommée.

En cas de panne du compresseur, le simulateur C-47 va consommer une partie de cette énergie. Quel que soit le résultat trouvé à la question 20, on prendra pour cette énergie consommée la valeur de $1.6 \cdot 10^6$ J.

Cette consommation va entraîner une diminution de la pression disponible dans les cuves ; on veut garantir que cette pression reste toujours supérieure ou égale à 5 bars.

Question 21:	Sur feuille de copie, exprimer littéralement l'énergie totale maximale E_T					
Feuille de copie	emmagasinée dans les cuves à la pression P _{max} =7 bars.					
	Exprimer littéralement l'énergie minimale E_m qui doit rester disponible dans les cuves à la pression $P_{min}=5$ bars. Sachant que la différence entre E_T et E_m représente l'énergie consommée par le simulateur C-47, calculer le volume minimal nécessaire des cuves.					

Question 22 :	Sur feuille de copie, calculer le nombre minimum de cuves nécessaires.
Feuille de copie	

Pour éviter que le niveau sonore ne perturbe le bruitage de la simulation, le compresseur est implanté à l'extérieur du bâtiment à une distance de 12 m du simulateur C-47.

Hypothèse:

• pendant la simulation, le compresseur fournit son débit maximum.

Donnée:

• les pertes de charges ne doivent pas dépasser 0,1 bar.

Question 23:	Sur feuille de copie, calculer le diamètre intérieur minimal d en mm, du
Feuille de copie DT11	tuyau de la canalisation principale.

<u>Objectif</u>: vérifier que les choix technologiques garantissent le fonctionnement correct du mouvement de tangage.

Hypothèses:

- il n'y a pas de roulis, l'avion est dans une position telle que le chargement est dans le plan (x,z);
- la charge est équitablement répartie sur chacun des composants participant au mouvement de tangage ;
- les mouvements du simulateur sont suffisamment lents pour négliger les effets d'inertie ;
- l'accélération de la pesanteur a pour valeur $\|\vec{g}\| = 9.81 \,\mathrm{m}\cdot\mathrm{s}^{-2}$.

Donnée:

• référence des rotules : GE 100 TXA-2LS.

Question 24 :	Sur le DR5, déterminer par le calcul la charge statique F_T subie par la					
DR5	liaison pivot entre le châssis de tangage (4) et le châssis mobile (3).					
DT13						
Question 25 :	Sachant qu'il y a 4 rotules pour réaliser cette liaison, sur le DR5, calculer					
DR5	la valeur de la charge radiale, notée F_r , supportée par une rotule.					
DT12						
Question 26 :	Sur le DR5, déterminer le facteur de charge axiale, noté <i>y</i> .					
DR5	Calculer la charge dynamique équivalente, notée <i>P</i> .					
DT14						
Question 27:	Sur le DR5, indiquer la charge dynamique de base admissible par la					
DR5	rotule choisie, notée C.					
DT14, DT15	Calculer la charge dynamique spécifique <i>p</i> .					
Question 28 :	Sur le DR5, indiquer la valeur du diamètre de la sphère de la bague					
DR5	intérieure de la rotule, notée d_k .					
DT15	microard ad la rotale, motor an					
Question 29 :	Sur le DR5, déterminer le demi angle d'oscillation du mouvement de					
DR5	tangage noté β .					
DT5, DT14						

Question 30 : DR5 DT5, DT14	Sur le DR5, calculer la fréquence d'oscillation du mouvement de tangage, notée f et exprimée en tour·min ⁻¹ . En déduire, à l'aide de la figure 5 du DT14, le temps <i>t</i> nécessaire pour une oscillation complète.
Question 31 : DR5 DT14	Sur le DR5, calculer la vitesse moyenne de glissement v . Vérifier, à l'aide du diagramme 3 du DT14, que la charge spécifique p et la vitesse de glissement v sont compatibles avec la référence choisie pour les rotules.

Données : pour la suite du questionnement, on adoptera les valeurs suivantes

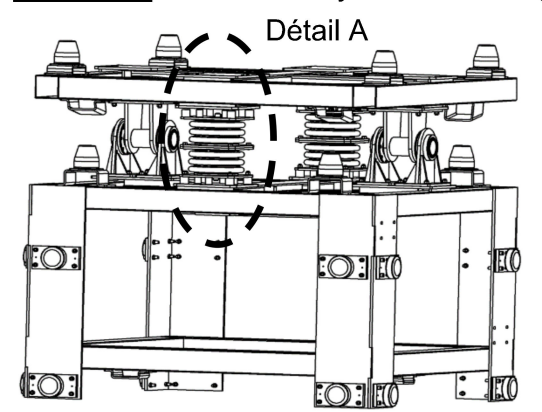
- charge dynamique spécifique $p = 5 \text{ N·mm}^{-2}$;
- vitesse moyenne de glissement $v = 0.003 \text{ m} \cdot \text{s}^{-1}$;
- plage de température de fonctionnement du simulateur C-47 0° C ≤ t ≤ 35°C.

Question 32 : DR5 DT5, DT14	Sur le DR5, calculer la durée de vie prévisible en heures, notée Gh . Convertir G_h en jours d'utilisation en tenant compte des exigences d'utilisation du cahier des charges et conclure au regard des intervalles prévus pour la maintenance.
Question 33 : DR6 DT12	Sur le DR6, compléter le schéma cinématique architectural de la liaison pivot entre le châssis tangage (4) et le châssis mobile (3).
Question 34 : DR6	Sur le DR6, déterminer le degré d'hyperstatisme <i>h</i> de l'articulation entre le châssis tangage (4) et le châssis mobile (3).

Le constructeur a choisi de réaliser les pièces constitutives du système en mécano-soudé sans usinage après soudage.

Question 35:	Sur feuille de copie, préciser quel devrait être le positionnement relatif					
Feuille de copie DT12	des rotules entre elles afin d'assurer la rotation autour de l'axe Y. Préciser si le mode d'obtention choisi par le bureau d'études permet de garantir un positionnement relatif précis entre elles des pièces constitutives de la liaison pivot.					
Question 36:	Sur feuille de copie, décrire la manière dont le constructeur pourrait					
Feuille de copie	résoudre le problème.					

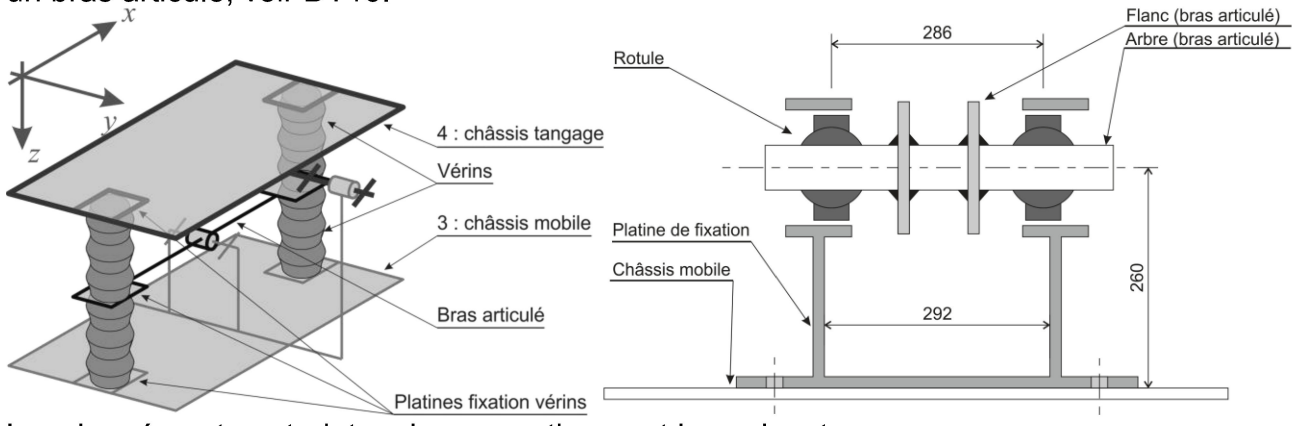
Objectif: fiabiliser le système de tangage par l'ajout d'un mécanisme.



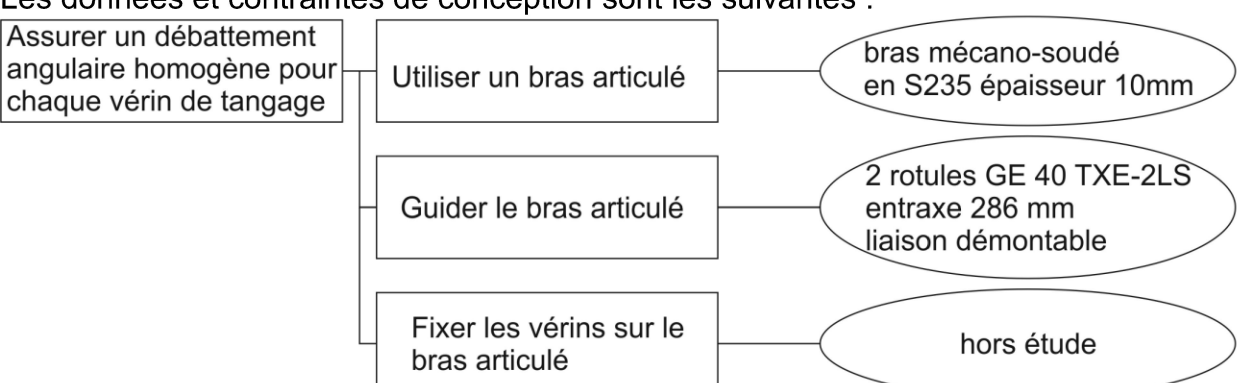
Dans la version initiale du projet, le choix a été fait de positionner en série deux vérins pour d'assurer une amplitude de 12° au mouvement de cabrage et deux vérins en série (détail A) permettant d'assurer un mouvement de piqué d'une amplitude de 10°.

Les quatre vérins fonctionnent simultanément, les uns se gonflant pendant que les autres se dégonflent.

Quelques semaines après la mise en service, l'exploitant a constaté la détérioration de l'assemblage en série des vérins empêchant toute exploitation commerciale de l'attraction. Pour résoudre ce problème, le concepteur propose de placer entre chaque couple de vérins un bras articulé, voir DT16.



Les données et contraintes de conception sont les suivantes :



Le fournisseur des rotules préconise d'arrêter axialement chaque rotule sur la bague intérieure et sur la bague extérieure.

Question 37:	Sur le DR7, représenter à main levée, la liaison pivot entre le bras					
DR7	articulé et le châssis tangage en prenant soin :					
DT15, DT16	 - d'arrêter axialement les rotules conformément aux préconisations du fournisseur; 					
	 de préciser les ajustements sur les bagues des rotules ; de préciser les jeux fonctionnels ; d'utiliser les éléments standard de la construction mécanique. 					

Objectif : vérifier que la conception du châssis mobile (3) est conforme aux exigences de sécurité.

Hypothèse:

• on se place au cours du mouvement de tangage vers l'avant qui est supposé uniforme.

Données:

- l'étude est limitée au châssis mobile (3) ;
- toutes les pièces sont constituées d'acier S235 ;
- une simulation tenant compte des effets d'inertie a permis de renseigner un logiciel d'étude par éléments finis dont les résultats sont fournis sur le DT 17.

Question 38 : Feuille de copie DT17	Sur feuille de copie, relever la valeur de la contrainte maximale qui s'exerce dans le châssis mobile (3). Comparer cette valeur à la résistance élastique du matériau.
Question 39 : Feuille de copie DT5, DT17	Sur feuille de copie, calculer la valeur du coefficient de sécurité Cs minimal. Comparer Cs avec la valeur exigée par le cahier des charges. Conclure.
Question 40 : DR9	Sur le DR9, proposer une évolution constructive permettant au châssis mobile (3) de respecter le cahier des charges.

BREVET DE TECHNICIEN SUPERIEUR CONCEPTION DE PRODUITS INDUSTRIELS SESSION 2019

Épreuve E4 – Etude préliminaire de produit

Unité U42 – Conception préliminaire

DOSSIER REPONSE

Ce dossier comporte 8 pages.

DR1 : Schéma cinématique minimal du simulateur

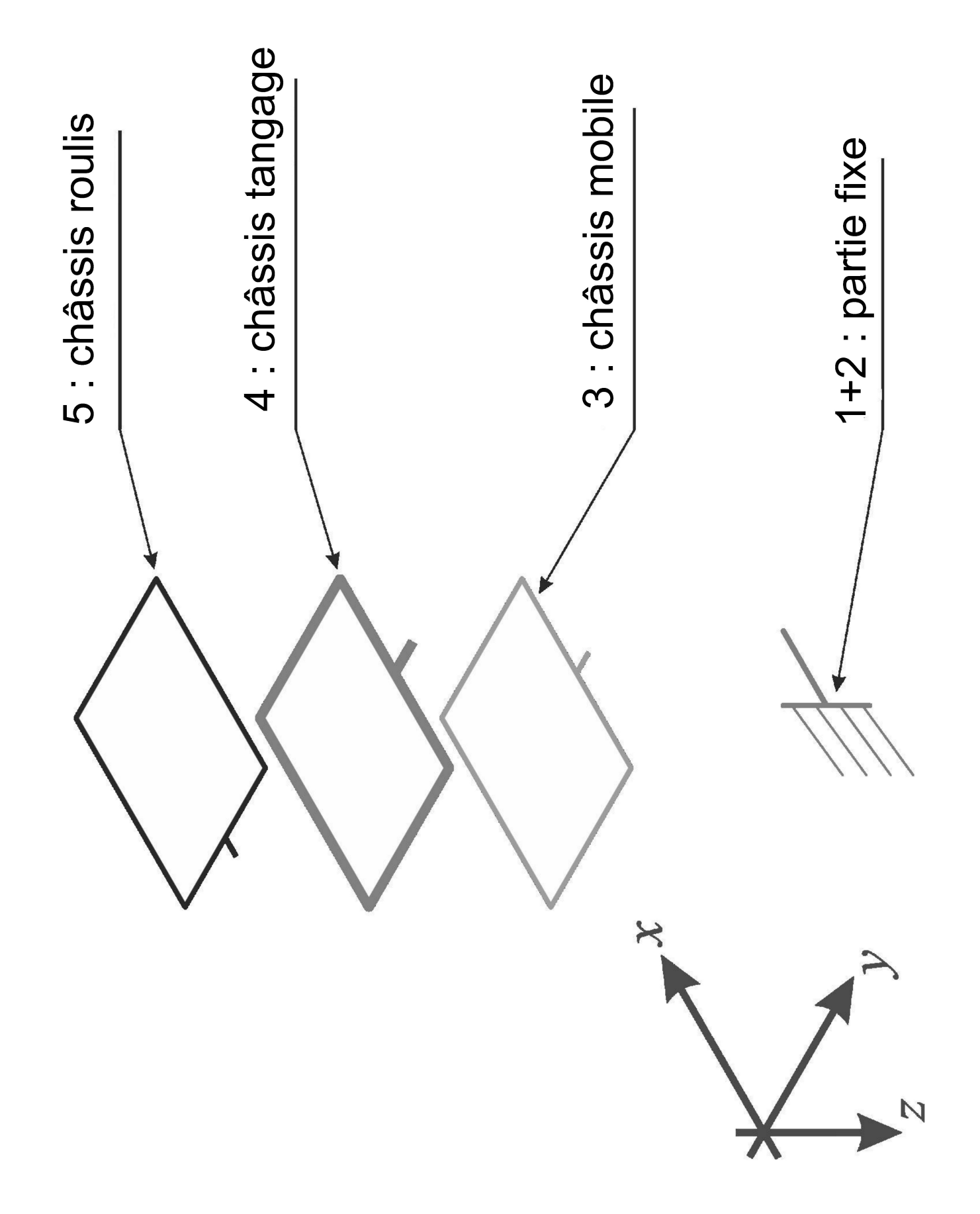
DR2 : Etude cinématique

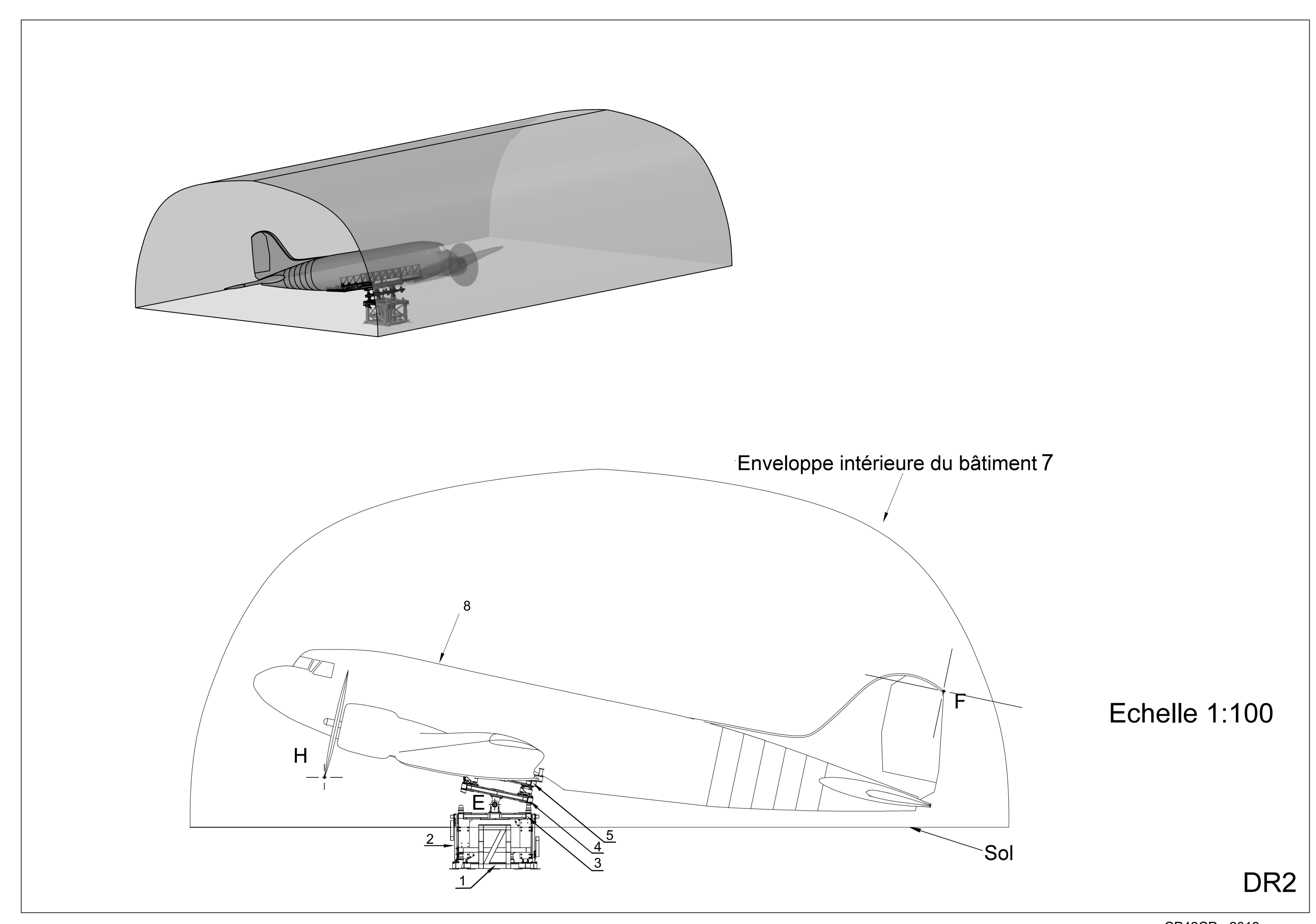
DR3 : Matrice de pondération multicritères DR4 : Energie consommée par le simulateur

DR5 : Calculs de validation des rotules

DR6 : Schéma cinématique architectural de la liaison châssis mobile-châssis tangage

DR7 : Conception de l'articulation du bras articulé DR8 : Modification de la structure du châssis mobile





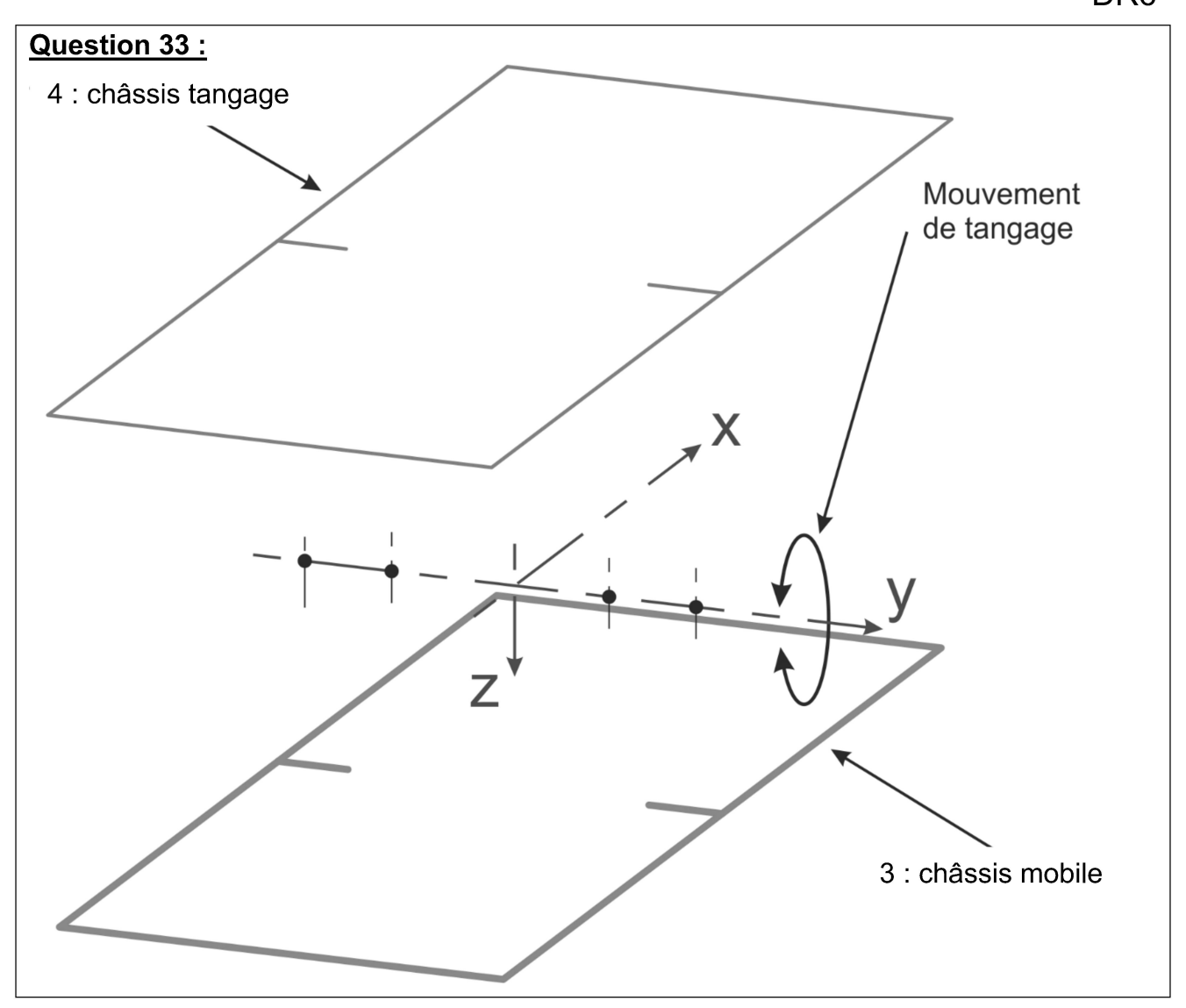
Matrice de pondération multicritères

Notation : solution technologique peu satisfaisante (note = 1), satisfaisante (note = 2), très satisfaisante (note = 3)

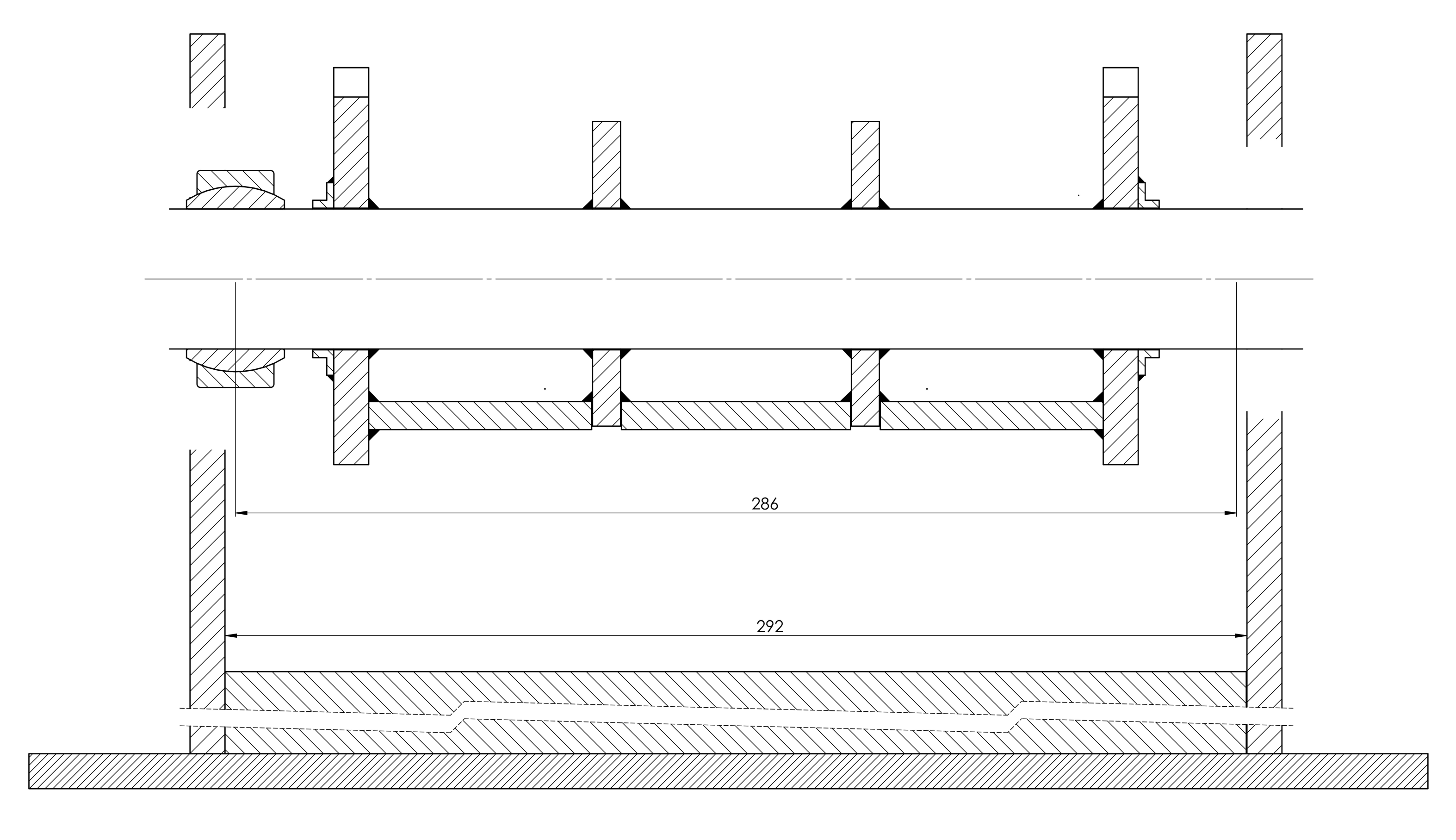
Notation : solution technologique peu satisfaisante (note = 1), satisfaisante (note = 2), tres satisfaisante (note = 3)					
Critères	Poids du critère (de 1 à 5)	Solution électrique	Solution hydraulique	Solution pneumatique	Exemple de calcul
Précision de positionnement	1				2
Rapidité de mouvement	2				1
Maintenabilité	4				2
Dangerosité pour l'exploitant	5				1
Risques pour l'environnement	2				3
Evaluation des solutions technologiques					1x2 + 2x1 + 4x2 + 5x1 + 2x3 = 23
Solution technologique choisie :			,	•	•

Energie consommée par le simulateur C-47					
		Vérin FT 2870 45 RS	Vérin FT 412 32 DS	Vérin FT 210 32 DS	
		(mouvement vertical)	(mouvement de tangage)	(mouvement de roulis)	
Questions	Course de travail pour la mise en mouvement du simulateur C-47 (mm)	350	370	154	
Q15	Course maximum de travail (mm)	444			
QTO	Nombre total de vérin	1			
	Volume d'un vérin (I)	145			
Q16	Volume d'air comprimé nécessaire pour assurer le mouvement du simulateur C-47 pendant un cycle (I)	145			
Q17	Débit d'air comprimé maximum pendant un cycle (I·s-1)	48,3			
	Débit total maximum d'air comprimé (l·s-1)				
Q19	Nombre de cycles effectués pendant la simulation.	20			
	Volume d'air comprimé consommé pendant la simulation (I)	2900			
Q20	Énergie consommée pour chaque mouvement (J)	1450000			
	Énergie totale consommée (J)				

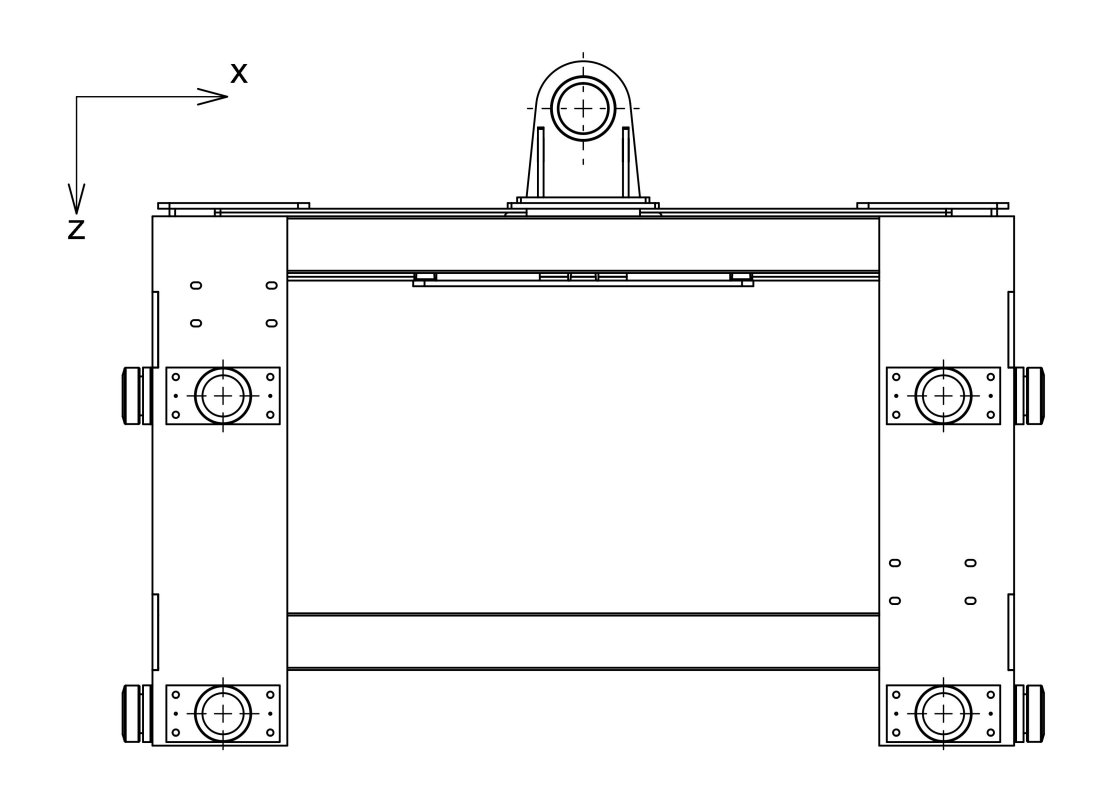
Question 24 :Charge statique F_T	
$\frac{\textbf{Question 25:}}{\textbf{Charge radiale } F_r}$	
Question 26 : Facteur de charge axiale <i>y</i>	
Charge dynamique équivalente <i>P</i>	
Question 27 : Charge dynamique de base C	
Charge dynamique spécifique p	
Question 28 : Diamètre de la sphère de la bague intérieure d_k	
$\frac{ \text{Question 29 :}}{ \text{1/2} \text{ angle d'oscillation du mouvement de tangage } \beta }$	
Question 30 : Fréquence d'oscillation du mouvement de tangage <i>f</i> :	
Temps nécessaire pour une oscillation complète :	
Question 31 : Vitesse de glissement moyenne <i>v</i>	
Conformité rotule avec p et v	
Question 32 : Durée de vie prévisible G_h	

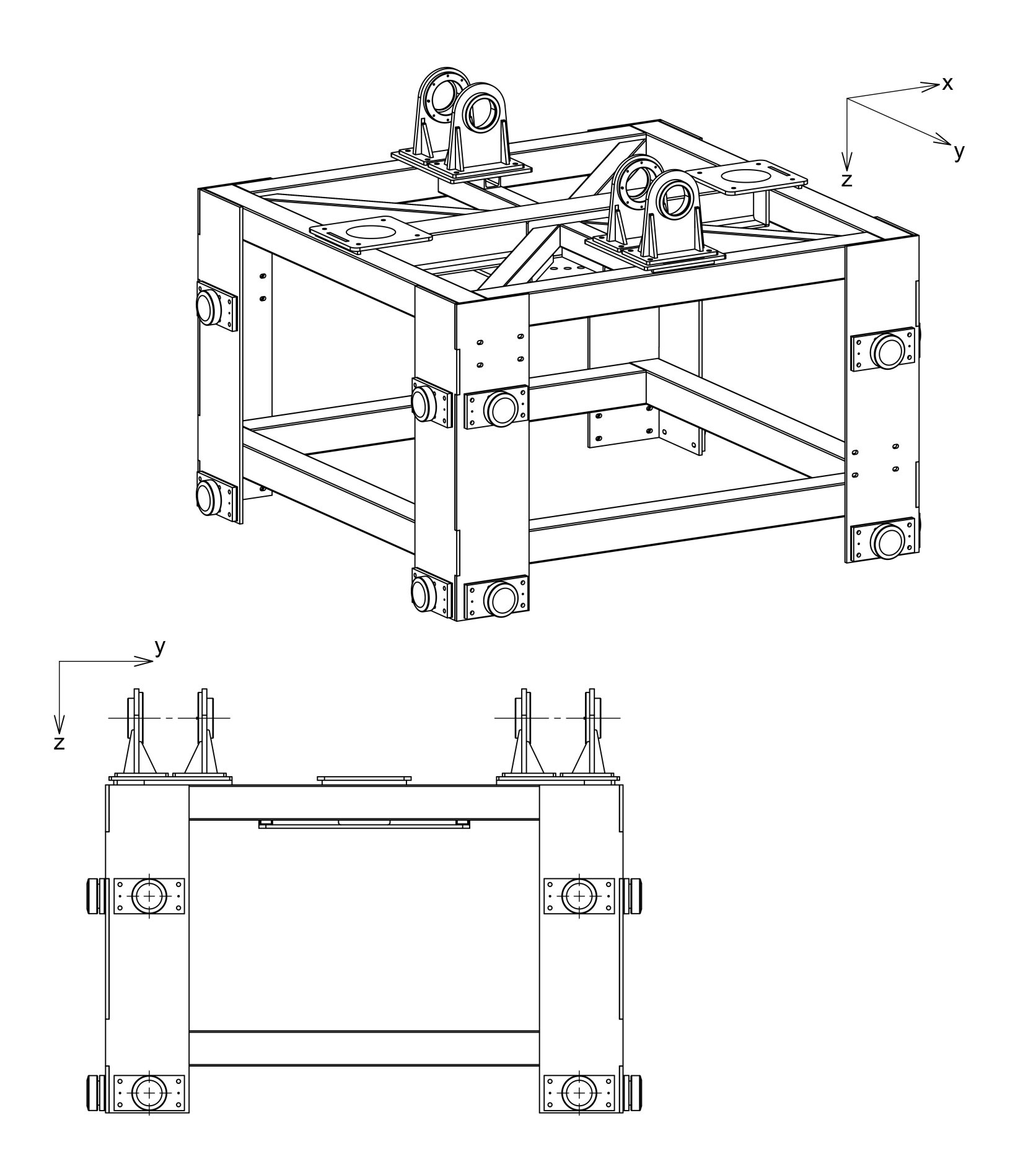


Question 34 :		



BRAS ARTICULÉ CONCEPTION DE L'ARTICULATION Echelle 1:1 Format : A3 DR 7





Modification de la structure du châssis mobile

DR8